

UDK 561.258.551.783 + 551.781 (497.12) = 863

## Nanoplankton v zgornjekrednih in paleocenskih plasteh na Goriškem

Jernej Pavšič

Katedra za geologijo in paleontologijo  
Univerza v Ljubljani, Ljubljana, Aškerčeva 12

Avtor je preiskal nanoplankton v dveh profilih laporastega apnenca, ki leži med zgornjekrednim rudistnim apnencem in eocenskim flišem. Prvi profil ustreza originalnemu podsabotinskemu profilu pri Novem mestu v Goriških Brdih, drugi pa se razteza ob severnem robu Vipavske doline. Na podlagi foraminifer je bilo določeno že prej, da gre za plasti zgornje krede in paleocena. To starost je potrdila sedaj tudi primerjava foraminifernih biocon s planktonskimi. Razlikovati je bilo mogoče dve zgornjekredni nanoplanktonski bioconi in pet paleocenskih. V paleocenski bioconi *Fasciculithus tympaniformis* je avtor določil med drugim tudi novo vrsto *Fasciculithus merloti*.

### Uvod

Nanoplankton je že dobro desetletje v središču pozornosti mikropaleontologov in stratigrafov, ki se zanimajo za nadrobno stratigrafijo mlajšega mezozoika in terciarja. Skupina fosilnih planktonskih alg je kot starostni indikator posebno dobrodošla pri dragih globinskih vrtanjih, kjer so stratigrafski rezultati odvisni le od jedra. Nanoplankton najdemo v vseh morskih karbonatnih kameninah, vendar so za prepariranje primerni predvsem mehkejši vzorci. Zradi hitre priprave vzorcev lahko pridemo kmalu do zanesljivih stratigrafskih rezultatov.

Paleontologi so v podsabotinskih plasteh širše okolice Gorice preučevali le planktonске foraminifere v zbruskih ali izolirane. Njihove raziskave pa niso dale zadovljivega rezultata o starosti plasti. Zato smo leta 1976 začeli iskati v njih tudi nanoplankton. Že prvi poskusi so mnogo obetali, čeprav slabo ohranjena, vendar bogata nanoflora je omogočila, da smo postavili biocone in jih primerjali z bioconami planktonskih foraminifer.

Posebno zahvalo sem dolžan mentorju prof. dr. Antonu Ramovšu, ki je z zanimanjem spremljal moje delo in mi dajal mnoge koristne napotke. Nadalje se zahvaljujem prof. dr. Rajku Pavlovcu za pregled rokopisa. Zahvaljujem se tudi kolegom, ki so mi kakorkoli pomagali pri izdelavi naloge in tehničnemu sodelavcu Marjanu Grmu za izdelavo fotografij in slik.

Pri prepariraju nanoplanktona smo uporabljali ultrazvočno napravo Inštituta za tekstilno tehnologijo ljubljanske univerze. Za razumevanje se zahvaljujem asistentu ing. Viliju Bukovšku. Fotografirali smo pod scaning elektronskim mikroskopom na Inštitutu za biologijo ljubljanske univerze. Operaterki Olgi Urbančevi se zahvaljujem za vso prizadevnost in potrežljivost.

Finančno je podprla delo Fakulteta za naravoslovje in tehnologijo.

### O h r a n j e n o s t n a n o p l a n k t o n a

V podsabotinskih plasteh je nanoplankton sorazmerno slabo ohranjen. Skeleti so nepopolni ali pa so značilni znaki zabrisani. Ohranjenost materiala se dá oceniti pod elektronskim mikroskopom. Pri ocenjevanju ločimo raztapljanje in preraščanje kokolitovih elementov. Oba pojava navadno nastopata skupaj pri višji diagenezi. To so eksperimentalno dokazali C. G. Adelseck in drugi (1973). Stopnja preraščanja se veča z globino sedimenta (A. Matter in drugi, 1975). Po D. B u k r y u (1971) je raztapljanje in preraščanje odvisno od optične osi kristala. Raztapljanju so bolj podvrženi manjši kristali, ki zapolnjujejo centralno polje ali grade centralne elemente, medtem ko se večji kristali povečini preraščajo.

V naših vzorcih smo opazovali obo primera spremenjenih oblik kokolitov. Pri bolj odpornih primerkih, kot je npr. *Watznaueria barnesae*, ne opazimo večjih sprememb strukture. Pri občutljivejših vrstah pa je raztopljen zunanj obroč. Vrsta *Prediscosphaera cretacea* (tab. 10, sl. 4) ima močno raztopljenia zunanja obroča, ki sta se ohranila le fragmentarno. Pri vrsti *Cribrosphaera ehrenbergi* se kristali preraščajo. Pri vseh primerkih se bolj ali manj preraščajo predvsem elementi zunanjega obroča, medtem ko je centralni del navadno manj spremenjen. Primerek na sl. 1 (tabla 10) pa kaže močno preraščanje zunanjega obroča in centralnega dela.

### S i s t e m a t i k a n a n o p l a n k t o n a

Zaenkrat se posamezne taksonomske enote še ne vrednotijo enotno. Zato sem priredil sistem delno po H. Manivit (1971), delno po K. Perch-Nielsen (1971).

Razred: COCCOLITHOPHICEAE Rothmaler 1951

Družina: Z y g o d i s c a c e a e Hay et Mohler 1976

*Zygodiscus* Bramlette et Sullivan 1961

*Glaukolithus* Reinhardt 1964

*Staurolithites* Ceratini 1963

*Tranolithus* Stover 1966

*Neococcolithes* Sujkowsky 1931

*Zygrablithus* Deflandre 1959

*Heliorthus* Brönnimann et Stradner 1960

Družina: E i f f e l i t h a c e a e Reinhardt 1965

*Eiffellithus* Reinhardt 1965

*Chiastozygus* Gartner 1968

- Družina: *Podorhabdaceae* Nöel 1965  
*Cretarhabdus* Bramlette et Martini 1964  
*Prediscosphaera* Vekshina 1959  
*Cribrosphaera* Arkhangelsky 1912
- Družina: *Archangelskiellaceae* Bukry 1969  
*Archangelskiella* Vekshina 1959  
*Brionia* Bukry 1969  
*Kamptnerius* Deflandre 1959
- Družina: *Coccolithaceae* Kamptner 1928  
*Biscutum* Black 1959  
*Watznaueria* Reinhardt 1964  
*Markalius* Bramlette et Martini 1964  
*Chiasmolithus* Hay et Mohler 1967  
*Cruciplacolithus* Hay et Mohler 1967  
*Coccolithus* Schwarz 1894
- Družina: *Prinsiaceae* Hay et Mohler 1967  
*Ericsonia* Black 1964  
*Prinsius* Hay et Mohler 1967  
*Toweius* Hay et Mohler 1967
- Družina: *Syracosphaeraceae* Lemmermann 1908  
*Ellipsolithus* Sullivan 1964
- Družina: *Thoracosphaeraceae* Deflandre 1952  
*Thoracosphaera* Kamptner 1927
- Družina: *Braarudosphaeraceae* Deflandre 1947  
*Braarudosphaera* Deflandre 1947
- Družina: *Discoasteraceae* Vekshina 1959  
*Discoaster* Tan 1927
- Družina: *Fasciculithaceae* Hay et Mohler 1967  
*Fasciculithus* Bramlette et Sullivan 1961
- Družina: *Heliolithaceae* Hay et Mohler 1967  
*Heliolithus* Bramlette et Sullivan 1961
- Družina: *Pontosphaeraceae* Lemmermann 1908  
*Pontosphaera* Lohmann 1902
- Družina: *Microrhabdulaceae* Deflandre 1963  
*Microrhabdulus* Deflandre 1963  
*Incertae sedis*  
*Tetralithus* Gardet 1955  
*Lucianorhabdus* Deflandre 1959

#### Opis vrst

*Zygodiscaceae* Hay et Mohler 1967  
*Zygodiscus* Bramlette et Sullivan 1961  
*Zygodiscus adamas* Bramlette et Sullivan  
 Tab. 8, sl. 5 do 8

- 1961 *Zygodiscus adamas* Bramlette et Sullivan — M. N. Bramlette & F. R. Sullivan, 148, tab. 4, sl. 9 a do c, 10 a do c.
- 1973 *Zygodiscus adamas* Bramlette et Sullivan — C. C. Kapellos, 117, tab. 4, sl. 10, tab. 7, sl. 5, tab. 8, sl. 10.

*Zygodiscus sigmoides* Bramlette et Sullivan

Tab. 7, sl. 12, 13, 14, tab. 8, sl. 1, 2

1961 *Zygodiscus sigmoides* Bramlette et Sullivan — M. N. Bramlette & F. R. Sullivan, 149, tab. 4, sl. 11 a do e.

1971 *Zygodiscus sigmoides* Bramlette et Sullivan — H. Manivit, 80, tab. 26, sl. 19 do 23.

*Zygodiscus spiralis* Bramlette et Martini

Tab. 1, sl. 1, 2, 4, 9

1964 *Zygodiscus spiralis* Bramlette et Martini — M. N. Bramlette & E. Martini, 303, tab. 4, sl. 6 do 8.

1971 *Zygodiscus spiralis* Bramlette et Martini — H. Manivit, 80, tab. 29, sl. 13 in 14.

*Glaukolithus* Reinhardt 1964

*Glaukolithus diplogrammus* (Deflandre)

Tab. 1, sl. 6

1954 *Zygolithus diplogrammus* Deflandre — G. Deflandre & C. Fert, 148, tab. 10, sl. 7, sl. 57 v tekstu.

1971 *Glaukolithus diplogrammus* (Deflandre) Reinhardt — H. Manivit, 81, tab. 13, sl. 2 do 7, 12 do 14.

Kratkega podaljška, ki izrašča iz sredine mostu, pri naših primerkih ni bilo opaziti.

*Staurolithites* Caratini 1963

Tab. 1, sl. 7

1954 *Discolithus crux* Deflandre et Fert — G. Deflandre & C. Fert 143, tab. 14, sl. 4, slika 55 v tekstu.

1969 *Vagalapilla elliptica* (Gartner) — D. Bukry 57, tab. 32, sl. 9 do 12.

1971 *Staurolithites crux* (Deflandre et Fert) — H. Manivit 82, tab. 18, sl. 15, 16, tab. 27, sl. 6 do 8, 10, 11, 14.

*Staurolithites ellipticus* (Gartner)

Tab. 1, sl. 3, 5, 8

1968 *Vekshinella elliptica* Gartner, 30, tab. 17, sl. 5.

Nekateri avtorji so združili to vrsto s prej opisano *Staurolithites crux* (H. Manivit, 1971). Obe vrsti pa se vendarle razlikujeta med seboj, ker je križni most pri *S. ellipticus* vedno vzporeden z osema elipse, kar pa pri *S. crux* ni pravilo. D. Bukry (1968) je rodova *Staurolithites* in *Vekshinella* združil v rod *Vagalapilla*. Zdi se mi pa, da tega ni dobro utemeljil; kot glavno značilnost je označil, da sta osi mostu vzporedni z osema elipse. Pri opisu vrste *Staurolithites crux* pa je dopustil rotacijo mostu.

*Tranolithus* Stover 1966  
*Tranolithus orionatus* (Reinhardt) Reinhardt  
 Tab. 1, sl. 10, 11

- 1966 *Discolithus orionatus* Reinhardt — P. Reinhardt, 42, tab. 23, sl. 22 in 31 do 33.  
 1969 *Zygodiscus phacelosus* (Stover) — D. Bu k r y , 61, tab. 35, sl. 12.  
 1971 *Tranolithus orionatus* (Reinhardt) Reinhardt — H. Manivit, 85, tab. 26, sl. 13 do 17.

Glede tega rodu si avtorji niso edini, saj so opisovali vrsto pod štirimi rodovnimi imeni, od katerih se mi zdi definicija rodu *Tranolithus* še najprimernejša za to vrsto.

*Zygrablithus* Deflandre 1959  
*Zygrablithus bijugatus* (Deflandre)  
 Tab. 7, sl. 9

- 1954 *Zygolithus bijugatus* Deflandre — G. Deflandre & C. Fert, 148, tab. 11, sl. 20, 21.  
 1974 *Zygrablithus bijugatus* (Deflandre) — R. W. Scherwood, 71, tab. 11, sl. 9, 10, 13, tab. 12, sl. 10 do 12.

*Heliorthus* Hay et Mohler 1967  
*Heliorthus concinnus* (Martini)  
 Tab. 8, sl. 3, 4

- 1969 *Zygolithus concinnus* Martini — E. Martini, 18, tab. 3, sl. 35, tab. 5, sl. 54.  
 1973 *Heliorthus concinnus* (Martini) — C. C. Kapellos, 118, tab. 4, sl. 5.

*Eiffellithaceae* Reinhardt 1965  
*Eiffellithus* Reinhardt 1965  
*Eiffellithus turriseiffeli* (Deflandre) Reinhardt  
 Tab. 1, sl. 12, 13

- 1966 *Clinorhabdus turriseiffeli* (Deflandre) — L. E. Stover, 138, tab. 3, sl. 9.  
 1971 *Eiffellithus turriseiffeli* (Deflandre) — H. Manivit, tab. 11, sl. 1, 2, 3, 4, 12, 13.

Ta vrsta je zelo pogostna in je ni težko prepoznavati niti pod optičnim mikroskopom. Zato so jo različni avtorji precej enotno opisali.

*Chiastozygus* Gartner 1968  
*Chiastozygus litterarius* (Gorka)  
 Tab. 1, sl. 14, 15

- 1957 *Discolithus litterarius* Gorka — H. Gorka, 251, tab. 3, sl. 3.  
 1964 *Zygodiscus amphipons* Bramlette et Martini — M. N. Bramlette & E. Martini, 302, tab. 4, sl. 9 do 10.

1966 *Discolithus fessus* Stover — L. E. Stover, 142, tab. 2, sl. 17 do 21, tab. 8, sl. 16.

1968 *Chiastozygus plicatus* Gartner — S. Gartner, 27, tab. 4, sl. 1 do 5.

*Chiastozygus fessus* (Stover)

Tab. 1, sl. 16

1966 *Discolithus fessus* Stover — L. E. Stover, 142, tab. 2, sl. 17 do 21, tab. 8, sl. 16.

1969 *Chiastozygus bifarius* Bukry — D. Bukry, 49, tab. 26, sl. 10 do 12.

1971 *Chiastozygus amphipons* Bramlette et Martini — H. Manivit, 92, tab. 4, sl. 6, 8.

*Ahmuelraceae* Reinhardt 1965

*Ahmuellerella* Reinhardt 1965

*Ahmuellerella octoradiata* (Gorka) Reinhardt

Tab. 2, sl. 1 do 4

1957 *Discolithus octoradiatus* Gorka — H. Gorka, 259, tab. 4, sl. 10.

1966 *Ahmuellerella octoradiata* (Gorka) — P. Reinhardt, 24, tab. 22, sl. 3 do 4.

1971 *Ahmuellerella octoradiata* (Gorka) — H. Manivit, 93, tab. 1, sl. 1 do 5.

*Podorhabdaceae* Nöel 1965

*Cretarhabdus* Bramlette et Martini 1964

*Cretarhabdus crenulatus* Bramlette et Martini

Tab. 2, sl. 5 do 8

1964 *Cretarhabdus crenulatus* Bramlette et Martini — M. N. Bramlette & E. Martini, 300, tab. 2, sl. 21 do 24.

1971 *Stradneria crenulata* (Bramlette et Martini) — H. Manivit, 99, tab. 7, sl. 6.

*Prediscosphaera* Vekshina 1959

*Prediscosphaera cretacea* (Arkhangelsky)

Tab. 2, sl. 9 do 12

1954 *Rhabdolithus intercicus* Deflandre — G. Deflandre & C. Fert, 38, tab. 13, sl. 12, 13.

1968 *Prediscosphaera cretacea* (Arkhangelsky) — S. Gartner, 21, tab. 2, sl. 10 do 14, tab. 3 sl. 8.

1971 *Prediscosphaera cretacea* (Arkhangelsky) — H. Manivit, 99, tab. 22, sl. 1 do 14.

*Cribrosphaera* Arkhangelsky 1912

*Cribrosphaera ehrenbergi* Arkhangelsky

Tab. 2, sl. 13 do 16

1952 *Cribrosphaerella ehrenbergi* (Arkhangelsky) — G. Deflandre, 111, sl. 54 a, b v tekstu.

1971 *Cribrosphaera ehrenbergi* Arkhangelsky — H. Manivit 102, tab. 8, sl. 1 do 13.

V maastrichtu je vrsta *Cribrosphaera ehrenbergi* zelo pogostna in je ni težko prepoznavati. Velikokrat jo najdemo tudi kot presedimentirano v terciarnih plasteh.

**Arkhangelskiellaceae** Bukry 1969

*Arkhangelskiella* Vekshina 1959

*Arkhangelskiella cymbiformis* Vekshina

Tab. 3, sl. 1 do 4

1964 *Arkhangelskiella cymbiformis* Vekshina — P. Reinhardt, 752, tab. 1, sl. 1 do 2, sl. 3 v tekstu.

1966 *Discolithus octocentralis* Stover — L. E. Stover, 143, tab. 3, sl. 1, 2, tab. 8, sl. 18.

1971 *Arkhangelskiella cymbiformis* Vekshina — H. Manivit, 103, tab. 1, sl. 6 do 11.

*Broinsonia* Bukry 1969

*Broinsonia parca* (Stradner)

1964 *Arkhangelskiella parca* Stradner — M. N. Bramlette & E. Martini, 298, tab. 1, sl. 1, 2.

1969 *Broinsonia parca* (Stradner) — D. Bukry, 23, tab. 3, sl. 3 do 10.

**Kamptnerius** Deflandre 1959

*Kamptnerius* sp.

Tab. 3, sl. 8

Vrsta je preslabo ohranjena, da bi jo mogli točneje odločiti. Razločno je viden le zunanji asimetrični obroč, ki je značilen za ta rod.

**Coccolithaceae** Kamptner 1928

*Coccolithus* Schwarz 1894

*Coccolithus pelagicus* (Wallich)

Tab. 8, sl. 12, 13

1954 *Coccolithus pelagicus* (Wallich) — G. Deflandre & C. Fert, 151, tab. 8, sl. 8 do 11.

1973 *Coccolithus pelagicus* (Wallich) — R. W. Scherwood, 14, tab. 1, sl. 3, 4, tab. 2, sl. 2.

*Biscutum* Black 1959

*Biscutum testudinarium* Black

Tab. 3, sl. 9

1959 *Biscutum testudinarium* Black — M. Black & B. Barnes, 326, tab. 10, sl. 1.

1971 *Biscutum testudinarium* Black — H. Manivit, 113, tab. 3, sl. 8 do 12.

*Watznaueria* Reinhhardt 1964  
*Watznaueria barnesae* (Black)

Tab. 3, sl. 10 do 16

1959 *Tremalithus barnesae* Black — M. Black & B. Barnes, 325, tab. 9, sl. 1, 2.

1971 *Watznaueria barnesae* (Black) — H. Manivit, 113, tab. 28, sl. 1 do 4, 8, 9, 12, 13.

*Markalius* Bramlette et Martini 1964  
*Markalius astroporus* (Stradner)

Tab. 4, sl. 1 do 3

1963 *Cyclococcolithus astroporus* Stradner — K. Gohrbandt, 75, tab. 9, sl. 5 do 7, sl. 3, 2 a, b v tekstu.

1964 *Markalius inversus* (Deflandre) — M. N. Bramlette & G. Martini 302, tab. 2, sl. 4 do 9, tab. 7, sl. 2 a, b.

1967 *Markalius astroporus* (Stradner) — W. W. Hay & H. P. Mohler, 1528, tab. 196, sl. 32 do 35.

*Chiasmolithus* Hay et Mohler 1967  
*Chiasmolithus bidens* (Bramlette et Sullivan)

Tab. 4, sl. 4 do 8

1961 *Chiasmolithus bidens* Bramlette et Sullivan — M. N. Bramlette & F. R. Sullivan, 139, tab. 1, sl. 1.

1974 *Chiasmolithus bidens* (Bramlette et Sullivan) — R. W. Scherwood, 15, tab. 1, sl. 8, 9, 10, tab. 2, sl. 4, 5.

*Chiasmolithus danicus* (Brotzen)

Tab. 4, sl. 9 do 11

1967 *Chiasmolithus danicus* (Brotzen) — W. W. Hay & H. P. Mohler, 1526, 196, sl. 16, 21, 22, tab. 198, sl. 8, 12, 13.

*Cruciplacolithus* Hay et Mohler 1967  
*Cruciplacolithus tenuis* (Stradner)

Tab. 4, sl. 12 do 16

1963 *Coccolithus helis* Stradner — K. Gohrbandt, 74, tab. 8, sl. 16, tab. 9, sl. 1, 2.

1973 *Cruciplacolithus tenuis* (Stradner) — H. P. Roth, 731, tab. 13, sl. 2, tab. 17, sl. 1.

*Prinsiaceae* Hay et Mohler 1967*Ericsonia* Black 1964*Ericsonia fenestrata* (Deflandre et Fert)

Tab. 5, sl. 1

- 1954 *Discolithus fenestratus* Deflandre et Fert — G. Deflandre & C. Fert, 19, tab. 11, sl. 25.
- 1975 *Ericsonia fenestrata* (Deflandre et Fert) — F. Proto-Decima, H. P. Roth & L. Todesco, 47, tab. 2, sl. 18 a, b.

*Prinsius* Hay et Mohler 1967*Prinsius bisulcus* (Stradner)

Tab. 5, sl. 2

- 1963 *Coccolithus bisulcus* Stradner — K. Goerbandt, 72, tab. 8, sl. 3 do 6, 1 a, b slike v tekstu.
- 1967 *Prinsius bisulcus* (Stradner) — W. W. Hay & H. P. Mohler, 1529, tab. 196, sl. 10 do 13, tab. 197, sl. 6.

*Toweius* Perch-Nielsen 1970*Toweius eminens* (Bramlette et Sullivan)

Tab. 5, sl. 3, 4

- 1961 *Coccolithus eminens* Bramlette et Sullivan — M. N. Bramlette & F. R. Sullivan 139, tab. 1, sl. 3.
- 1970 *Toweius eminens* (Bramlette et Sullivan) — K. Perch-Nielsen, 360, tab. 13, sl. 4, 6, tab. 14, sl. 3, 4.

*Toweius towae* Perch-Nielsen

Tab. 5, sl. 5 a, b

- 1970 *Toweius towae* Perch-Nielsen — K. Perch-Nielsen, 359, tab. 13, sl. 1, 3, 5, tab. 14, sl. 8, 9.

*Syracosphaeraceae* Lemmermann 1908*Ellipsolithus* Sullivan 1984*Ellipsolithus distichus* (Bramlette et Sullivan)

Tab. 8, sl. 9

- 1961 *Coccolithites distichus* Bramlette et Sullivan — M. N. Bramlette & F. R. Sullivan, 152, tab. 7, sl. 8 a, b, c.
- 1964 *Ellipsolithus distichus* (Bramlette et Sullivan) — F. R. Sullivan, 184, tab. 5, sl. 4 a, b, 5 a, c, 6 a, b.

*Ellipsolithus macellus* (Bramlette et Sullivan)

Tab. 8, sl. 14, 15

1961 *Coccolithites macellus* Bramlette et Sullivan — M. N. Bramlette & F. R. Sullivan, 152, tab. 7, sl. 11 do 13 d.

1964 *Ellipsolithus macellus* (Bramlette et Sullivan) — F. R. Sullivan, 184, tab. 5, sl. 3.

*Thoracosphaeraceae* Deflandre 1952*Thoracosphaera* Kamptner 1927*Thoracosphaera cf. imperforata* Kamptner

Tab. 5, sl. 6, 7

1964 *Thoracosphaera cf. imperforata* Kamptner — M. N. Bramlette & F. R. Sullivan, 305, tab. 5, sl. 1, 2.

Sferična oblika sestoji iz nepravilnih elementov, ki se med seboj prepletajo. Elementi so posebno dobro vidni pod navzkrižnimi nikoli. Vrsta se loči od vrste *T. operculata* po tem, da nima nastavka za operkulum, ki se pogosto najde ločeno.

*Thoracosphaera tuberosa* Kamptner

Tab. 5, sl. 8

1972 *Thoracosphaera tuberosa* Kamptner — A. Farinacci, 5/219, sl. 26.

Najdena je bila le sferična oblika te vrste v enem primerku s slabo vidnimi elementi. Opaziti je le steno, ki kaže ob stikih elementov pore.

*Braarudosphaeraceae* Deflandre 1947*Braarudosphaera* Deflandre 1947*Braarudosphaera bigelowi* (Gran et Braarud)

Tab. 3, sl. 5 do 7

1947 *Braarudosphaera bigelowi* (Gran et Braarud) — G. Deflandre, 439, sl. 1 do 5.

1975 *Braarudosphaera bigelowi* (Gran et Braarud) — F. Proto-Decima, H. P. Roth & L. Todesco, 44, tab. 1, sl. 2 a, b.

*Braarudosphaera bigelowi imbricata* Bukry

Tab. 5, sl. 9, 10

1966 *Braarudosphaera imbricata* Manivit — A. Farinacci, 6/5, sl. 4 a, b.

1969 *Braarudosphaera bigelowi imbricata* Bukry — D. Bukry 62, tab. 37, sl. 1 do 3.

Vrsta se loči od *B. bigelowi* po delnem prekrivanju elementov in po rahlo zaokroženi zunanji stranici trapezoidnega segmenta.

***Discoasteraceae Vekshina 1959****Discoaster Tan Sin Hok 1927**Discoaster gemmeus Stradner*

Tab. 5, sl. 12, tab. 6, sl. 1

1963 *Discoaster gemmeus* Stradner — K. Gohrbandt, 79, tab. 11, sl. 4, 5.***Discoaster multiradiatus Bramlette et Riedel***

Tab. 6, sl. 4, 6

1954 *Discoaster multiradiatus* Bramlette et Riedel — M. N. Bramlette & W. R. Riedel, 396, tab. 38, sl. 10.***Fasciculithaceae Hay et Mohler 1967****Fasciculithus Bramlette et Sullivan**Fasciculithus involutus Bramlette et Sullivan*

Tab. 6, sl. 5, 7 do 11

1961 *Fasciculithus involutus* Bramlette et Sullivan — M. N. Bramlette & F. R. Sullivan, 164, tab. 14, sl. 1 do 5.***Fasciculithus tympaniformis Hay et Mohler***

Tab. 6, sl. 12 do 14

1967 *Fasciculithus tympaniformis* Hay et Mohler — W. W. Hay & H. P. Mohler, 1537, tab. 204, sl. 10 do 15, tab. 205, sl. 4, 5, 7, 8.***Fasciculithus merloti n. sp.***

Tab. 7, sl. 1 do 3

**Derivatio nominis:** po trli, ki uspeva na podsabotinskih plasteh v Goriških Brdih.

**Holotypus:** tab. 7, sl. 1, inventarna št. vzorca 485 v zbirki J. Pavšiča, Katedra za geologijo in paleontologijo univerze v Ljubljani.

**Paratypi:** tab. 7, sl. 2, 3, invent. št. 482, 485 prav tam.

**Stratum typicum:** srednji paleocen, biocona *F. tympaniformis*. V profilu podsabotinskih plasti pri vasi Podsabotin v Goriških Brdih.

**Locus typicus:** Profil pri vasi Podsabotin v Goriških Brdih.

**Material:** Tri fotografije primerkov z negativom.

**Diagnosis:** Stebriček ima obliko prisekanega stožca in nosi disk, ki se podaljšuje v apikalno konico. Distalni del stebrička je razločno širši od njegovega proksimalnega dela.

**Opis:** Osebek sestoji iz stebrička, diska in apikalne konice. Od diska navzdol se premer stožca naglo manjša. Naklonski kot stranic proti disku je 73 do 75 stopinj. Zunanja stena stebrička je gladka. Centralna odprtina in osred-

nja cev sta gladki, osrednja cev je široka in razločna. Proksimalna stran se konča z izrazitim konkavnim poljem. Disk je navadno tako velik kot baza stožca, včasih pa sega celo malo prek roba. Velikost 8 do 12 mikronov.

**Primerjava:** Vrsta se loči od podobne *F. ulii* po tem, da ima stranice stebrička izrazito nagnjene. Disk se stožčasto podaljšuje v apikalno bodico in ne stopničasto kot pri vrsti *F. ulii*.

**Stratigrafska razširjenost:** Plasti med srednjim in zgornjim paleocenom.

**Geografska razširjenost:** samo locus typicus.

#### *Heliolithaceae* Hay et Mohler 1967

*Heliolithus* Bramlette et Sullivan

*Heliolithus kleinelli* Sullivan

Tab. 7, sl. 4 do 8

1964 *Heliolithus kleinelli* Sullivan — F. R. Sullivan 193, tab. 12, sl. 5 a, b.

1975 *Heliolithus kleinelli* Sullivan — F. Proto-Decima, H. P. Roth & L. Todesco, 49, tab. 5, sl. 17, 18.

#### *Pontosphaeraceae* Lemmermann 1908

*Pontosphaera* Lohmann

*Pontosphaera plana* (Bramlette et Sullivan)

Tab. 8, sl. 10, 11

1961 *Discolithus planus* Bramlette et Sullivan — M. N. Bramlette & F. R. Sullivan, 143, tab. 3, sl. 7 a, b, c.

1966 *Discolithus planus* Bramlette et Sullivan — C. L. D. Cohen, 14, tab. 2, sl. p do s.

1972 *Pontosphaera plana* (Bramlette et Sullivan) — B. Haq, 22, tab. 20, sl. 1, tab. 22, sl. 6.

#### *Microrhabdulaceae* Deflandre 1963

*Microrhabdulus* Deflandre 1959

*Microrhabdulus decoratus* Deflandre

Tab. 9, sl. 15, 16, tab. 12, sl. 4

1959 *Microrhabdulus decoratus* Deflandre — G. Deflandre, 141, tab. 4, sl. 1 do 5.

#### *Incertae sedis*

*Tetralithus* Gardet 1955

*Tetralithus quadratus* Stradner

Tab. 8, sl. 16

1971 *Tetralithus quadratus* Stradner — H. Manivit, 145, tab. 25, sl. 9 in 10.

*Tetralithus pyramidus* Gardet

Tab. 9, sl. 1 do 3

1971 *Tetralithus pyramidus* Gardet — H. Manivit, 145, tab. 25, sl. 1, 2, 6 do 8.

*Tetralithus obscurus* Deflandre

Tab. 9, sl. 4

1959 *Tetralithus obscurus* Deflandre — G. Deflandre, 138, tab. 3, sl. 36 do 39.

*Tetralithus murus* Martini

Tab. 9, sl. 5 do 8

1961 *Tetralithus murus* Martini — E. Martini, 4, tab. 1, sl. 6, tab. 4, sl. 42.

*Micula Vekshina* 1959*Micula staurophora* (Gardet)

Tab. 9, sl. 9 do 12

1961 *Nannotetraster staurophorus* (Gardet) — E. Martini, 16.

1971 *Micula staurophora* (Gardet) — H. Thierstein, 40, tab. 3, sl. 62, 63.

*Lucianorhabdus* Deflandre 1959*Lucianorhabdus cayeuxi* Deflandre

Tab. 9, sl. 13, 14

1959 *Lucianorhabdus cayeuxi* Deflandre — G. Deflandre, 142, tab. 4, sl. 11 do 25.

**Stratigrafija****Dosedanje raziskave rdečega laporja na meji kreda-terciar na Goriškem**

Prvi je pisal o rdečem laporju na Goriškem in Vipavskem že D. Stur (1858). G. Stache (1920) ga je označil kot rdeči mejni lapor in ga, kakor D. Stur pred njim, uvrstil v eocen. Rdeči lapor in laporasti apnenec najdemo na več krajih na Tolminskem (D. Neděla-Devidé, 1957), v okolici Krškega in Velikega trna (A. Ramovš, 1958, L. Žlebnik, 1958), na Gorjancih (M. Pleničar, 1958), na Kališah (K. Grad, 1962). R. Pavlovec, 1963, M. Cousin, 1964), na Kočevskem (C. Grm o v šek, 1953), v okolici Ilirske Bistrice (L. Šribar, 1967), na robu Ljubljanske kotline (A. Ramovš, 1967), pri Narinu in Knežaku (P. Mioc, 1968), v Pivški kotlini (R. Gospodarič in drugi, 1967), v Vipavski dolini in na Goriškem (B. Martinis 1962; L. Šribar, 1965; K. Drobne & R. Pavlovec, 1969; J. Pavšič, 1971).

Laporasti apnenec na teh krajih je različne starosti, od zgornje kredne do paleocenske; ker ne vsebuje makrofossilov, so geologi pozno prišli do tega spo-

znanja. Točneje so ga lahko opredelili šele, ko so v njem našli bogato favno planktonskih foraminifer (A. Winkler-Hermaiden, 1936). Leta 1965 je L. Šribarjeva ugotovila, da sestoje skladi rdečega laporja v profilu pri vasi Pod-sabotin v Goriških Brdih iz dveh stratigrafsko različno starih delov. Spodnji del predstavlja zgornjekredni lapor s številnimi foraminiferami iz rodu *Globotruncana*. Na podlagi vrst iz tega rodu mu je določila campan-maastrichtsko starost. Na njem leži paleogenski lapor, ki ga je razdelila na danske in paleocensko-spodnjeeocenske plasti.

V sosednjem profilu pod Sabotinom je D. Martinis (1962) našel le kredni del plasti.

Podobne razmere kot pri Podsabotinu je L. Šribarjeva (1965) našla tudi pri vasi Loke v Vipavski dolini (Lijak). Po planktonskih razmerah je tudi tu ločila campansko-maastrichtske, danske in paleocensko-spodnjeeocenske plasti. Zaporedje leži inverzno na eocenskem flišu.

Leta 1969 sta K. Drobne in R. Pavlovec imenovala rdeči lapor na meji kreda/terciar po vasi Podsabotin v Goriških Brdih podsabotinske plasti. Ta termin naj bi se uporabljal za vse plasti enake starosti in podobnega litološkega razvoja, ker staro ime »scaglia« ne ustreza našim razmeram.

J. Pavšič (1971) je preučeval rdeči lapor v več profilih od Goriških Brd do Logaške planote. Na tem prostoru je našel najstarejše campansko-maastrichtske plasti v profilih pri Lijaku in pri Kožbani. Paleogenski del plasti je na podlagi planktonskih izoliranih foraminifer razdelil na več biocon. V spodnjem paleocenu je določil bioconi *Globorotalia pseudobulloides* in *G. trinidadensis*, v srednjem paleocenu biocono *G. pseudomenardii* in v zgornjem delu bioconi *Globorotalia velascoensis* in *G. aqua*. Tako je nad mejo kreda/terciar našel razločno vrzel v favni, saj se prve foraminifere pojavijo nekaj decimetrov nad litološko mejo. Sklepal je, da so bile plasti s foraminiferami tektonsko premaknjene in odnesene ali pa začetna danska biocona tu sploh ni bila razvita. Več favnističnih vrzeli je tudi v višjih delih profila.

### Stratigrafsko horizontiranje podsabotinskih plasti

Izkusnje s foraminiferami v podsabotinskih plasteh so pokazale, da hišic iz trdih kamenin ni mogoče izolirati, temveč je treba za določevanje napraviti zbruske. Zato je bilo zanimivo vprašanje, ali se bo isti problem pojavil tudi pri kokolitih. Toda že prvi poizkus v tej smeri so dali vzpodbudne rezultate. Iz precej trdega laporastega apnenca smo dovolj dobro izolirali nanoflora.

Za prvo detajljno stratigrafsko razčlenitev podsabotinskih plasti s pomočjo nanoplanktona smo izbrali dva profila, prvega pri Podsabotinu in drugega pri Lijaku. Oba profila sta bila delno že obdelana s foraminiferami (L. Šribar, 1965; J. Pavšič, 1973). Na podlagi nanoplanktona smo ju skušali stratigrafsko horizontirati do biocon.

**Profil Podsabotin.** Tipični profil podsabotinskih plasti se razteza od zadnje hiše na levi strani ceste v vasi Novo mesto v Goriških Brdih po kolovozu v počepje Sabotina. Profil je v celoti razgaljen in je zato zelo ugoden za vzorčevanje. Leži ob zgornjekrednem rudistnem apnencu sabotinsko-skalniške antiklinale in se v dolini potoka Pevmica stika z eocenskim flišem. Na kontaktu s krednim apnencem je L. Šribarjeva (1965) vrisala v profilu apneno

brečo, ki pa je nismo našli. Profil se začne pod svetlim rudistnim apnencem. V močno zakraselom apnencu so številni ostanki rudistnih školjk. Sledi nekaj metrov sivega trdega laporastega apnanca s sivimi in črnimi roženci. Više postane lapor svetlo rožnat, še više pa temno rožnat in rdeč. Nato se menjavata sivi in rdeči lapor vse do jasne litološke meje med kredo in terciarjem. V spodnjem delu paleocena je nekaj metrov debel rjavkasto rdeči lapor (10 R 4/4). Sledi mu rdečkasti, ponekod nekoliko sivkasti lapor s sledovi fosila *Zoophycos*, ki smo ga srečali tudi že v krednem delu (R. Pavlovec & J. Pavšič, 1971). V spodnjem delu se pojavijo tudi leče apnanca, ki pa so redke in se hitro izklinijo. V najvišjem delu podsabotinskega profila se sive in rjavkaste plasti, debele 10 do 15 cm, menjavajo z rdečimi in vsebujejo na več krajin pole sivega apnanca. Lapor se iverasto kroji, v višjem delu pa je opaziti tudi lapor s školjkasto krojivitvijo. Nekatere plasti vsebujejo zaobljene kose apnanca, ki so se verjetno privalili z višjih, plitvejših delov in padli v laporno blato. Apnenčeve pole med laporjem vsebujejo številne velike foraminifere in rdeče alge, ki so lahko živele le v plitvejši vodi, kjer je bilo dovolj kisika in svetlobe (sl. 1).

Profil je odkrit vse do dna doline. Prehod med podsabotinskim laporjem in flišem pa je pokrit na dolžini okrog 20 metrov. Fliš se pojavi v strugi potoka Pevmica, kjer se menjavata med seboj sivi lapor in apneni peščenjak.

Podsabotinski profil je označen s *Ps*; za vzorce, nabrane že preje za preiskavo planktonskih foraminifer, smo ohranili staro oznako, zaporednim številkam novih vzorcev pa smo dodali malo črko *p*. Novih vzorcev je skupno 72; pobirali smo jih na pet metrov, le na zanimivih prehodih bolj pogosto (sl. 1).

Profil Lijak leži na severnem robu Vipavske doline, 5 kilometrov vzhodno od Nove Gorice ob kolovozu Loke-Ravnica. Poleg glavnega smo obravnavali še pomožni profil, ki je oddaljen od prvega okrog 200 m. Prvi profil smo označili z *LI*, drugega pa z *LII*.

Plasti leže v profilu *LI* inverzno; zgornjekredni senonski apnenec je narinjen na eocensi fliš. Pod narivom je laporasti apnenec precej zdrobljen in močno prepreden s kalcitnimi žilicami. Tik pod narivno ploskvijo je opaziti tektonske drse. Laporasti apnenec je tod sivkasto zelen. Sledi litološko precej enoličen razvoj biomikritnega apnanca s številnimi ostanki planktonskih foraminifer in nanoplanktona. Litološko enoten profil se spreminja le po barvi. Menjava se rdečkasto vijoličasti in sivkasto rjavi laporasti apnenec, ki se iverasto kroji. V najnižjem delu je nekoliko okremenjen. Približno na polovici profila postane laporasti apnenec naenkrat enotno rdeč. Više se pojavijo v njem leče sivkastega apnanca, debele do nekaj deset centimetrov, ki se raztezajo v dolžino nekaj metrov. Ta kompleks je debel 6 do 8 metrov. Nad njim sledi nekoliko temnejše rdeči laporasti apnenec z lečami sivega apnanca in peščenjaka. V vrhnjem delu se poleg leč apnanca in peščenjaka pojavijo še svetljše plasti rjavkastega laporja. Tako menjavanje se pojavlja do stika s flišnim peščenjakom. Na kontaktu je lepa guba apnenčevega peščenjaka, ki pripada flišu. V paleocenskem delu rdečega laporja ločimo 8 do 10 plasti z lečami apnanca.

V profilu smo vzeli 20 vzorcev za nanoplankton. Vzorčevati smo začeli v krednem delu pod narivom krednega apnanca in od tod smo pobrali vsakih pet metrov po en vzorec.

Pomožni profil *LII* leži dvesto metrov vzhodno od *LI* v stranski grapi glavnega jarka, po katerem teče potok Lijak. Je nekoliko krajši od glavnega, ker se

golica rdečega laporastega apnenca proti vzhodu ostro konča ob prelomu s smerjo severozahod-jugovzhod. Ob tem prelomu je više proti Ravnici še več izdankov krednega laporastega apnenca. Profil je v zelo razgibanem terenu in ni v celoti dostopen. Njegov kredni del je odpornejši in tvori zelo strmo steno. Pod steno je lepo viden kontakt kreda/terciar. Paleocenski del profila je podobno razvit kot v prvem profilu, le apnene leče so redkejše. Profil se konča ob kontaktu s flišnim peščenjakom, ki se nato nadaljuje v pravo flišno zaporedje. V tem profilu sem pobral osem vzorcev; dva v krednem, pet v paleocenskem in enega v flišnem delu.

### Razdelitev na biocone v profilih Podsabotin in Lijak

**Zgornja kreda — maastricht.** Biocona *Arkhangelskiella cymbiformis* predstavlja interval med zadnjim pojavljanjem oblike *Reinhardtites anthophorus* in prvim pojavljanjem vrste *Tetralithus murus* ali *Nephrolithus frequens*. Postavila jo je K. Perch-Nielsen (1972) na podlagi profilov vrtin v severnem Atlantiku. Biocona zavzema srednji maastricht. V profilih pri Lijaku in pri Podsabotinu smo našli vrsto *A. cymbiformis* v celotnem krednem profilu laporastega apnenca v zelo velikem številu in v lahko razpoznavni obliki. V spodnjem delu profila nastopa skupaj z vrsto *Broinsonia parca*, ki je značilna za zgornji del campana. H. P. Roth (1973) je označil isto biocono s tem fosilom. V našem profilu smo našli sicer obe vrsti vendar je *A. cymbiformis* bolj razširjena in z njo je zgornja meja biocone dobro definirana. Po naših vzorcih zavzema ta biocona sorazmerno kratek interval od začetka profila do vzorca *Ps 3p*, oziroma vzorca *Ll 4*, ko se začenja naslednja biocona. Spodnji del te biocone v našem profilu ni razvit.

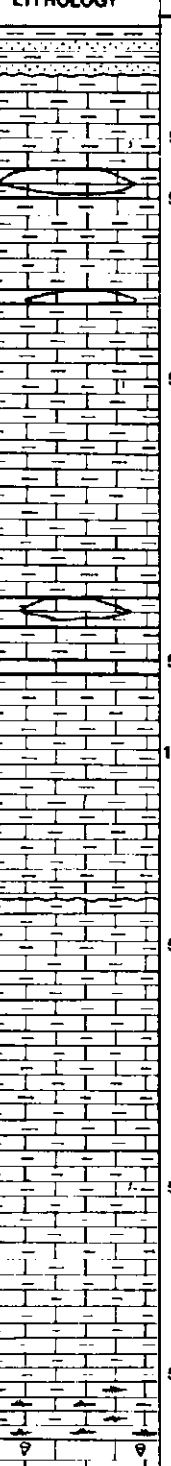
Skupaj z vrsto *Arkhangelskiella cymbiformis* nastopajo še *Eiffelithus turri-seiffeli*, *Cretarhabdulus crenulatus*, *Broinsonia parca* (verjetno presedimentirana), zelo številna vrsta *Watznaueria barnesae* in *Tetralithus pyramidus*.

Biocona sestoji iz rdečkastega rahlo rožnatega in sivkastega trdega laporastega apnenca z redkimi ostanki flore.

Biocona *Tetralithus murus* obsega interval med začetkom vrste *Tetralithus murus* ter zadnjim pojavom vrste *Arkhangelskiella cymbiformis* in drugih krednih oblik. Postavil jo je G. Martini (1969) na podlagi materiala iz Bellocqa v jugovzhodni Franciji. Stratigrafsko predstavlja biocona zgornji maastricht in je ekvivalentna bioconi *Nephrolithus frequens*, ki sta jo postavila P. Čepel in W. W. Hay (1969) na podlagi materiala iz Alabame. Biocona *Tetralithus murus* je omejena na ekvatorialni pas, medtem ko je biocona *Nephrolithus frequens* razširjena v večjih geografskih širinah proti severu in jugu (T. Worsley in E. Martini, 1970). Meja naj bi potekala od južne Rusije, Češke, prek severne Francije, kjer srečamo obe bioconi, mimo južne Anglije, diagonalno prek Atlantika do Floride. Na južni polobli naj bi meja potekala nekje po severni Avstraliji. Naši kraji torej padejo v ekvatorialni pas

Sl. 1. Profil podsabotinskih plasti v Goriških Brdih

Fig. 1. Columnar section of the Podsabotin beds from Goriška Brda

DOBA AGE	DEBELINA THICK- NESS	VZOREC SAMPLE	LITOLOGIJA LITHOLOGY	BARVA COLOUR
PALEOCENE - PALEOCENE	cca 100m	50 • 49 • 48 • 47 • 16 46 • 45 • 44 • 43 • 42 • 41 • 40 • 39 • 38 • 37 • 36 • 35 • 34 • 33 • 32 • 31 • 30 • 29 • 28 • 27 • 26 • 25 • 13 24 • 23 • 12 22 • 21 • 20 • 19 • 18 • 17 • 16 • 15 p • 14 p • 10p 13p • 11p 12p • 11a • 9p • 10 • 8p • 9 • 7p • 8a • 6p • 8 • 5p • 7 • 4p • 6 • 3p • 5 • 2p • 4 • 1p • 2 • op •		FLIŠ FLYSCH  LEČASTI VLOŽKI APNENCA LENSLIKE LIMESTONE INTERCALATIONS  RDEČASTI LAPOR S POLAMI SIVEGA APNENCA REDDISH MARL INTERBEDDED WITH GRAY LIMESTONE  LEČASTI VLOŽKI APNENCA LENSLIKE LIMESTONE INTERCALATIONS  RJAVKASTO RDEČ LAPORASTI APNENEC BROWNISH REDD MARLY LIMESTONE  RJAVKASTI IN SIVI LAPORASTI APNENEC BROWNISH AND GRAY MARLY LIMESTONE  ROŽENEC NEPRAVILNIH OBLIK IRREGULAR CHERT NODULES MASIVEN RUDISTNI APNENEC MASSIVE RUDISTID LIMESTONE
MAASTRICHT - MAASTRICHTIAN	cca 80m			
SENON SENONIAN				

		STRADNER 1963	RADOMSKI 1967	ČEPEK & HAY 1969	MANIVIT 1971	PERCH-NIELSEN 1972	ROTH 1973	BUKRY 1975	MARTINI 1976	PODSABOTIN LIJAK PAVŠIĆ, 1976
SENON	MAASTRICHT	ASSEM-BLAJE CYMBIFOR-MIS ZDРUŽBA	LUCIANORHABDUS COYEUXI	NEPHROLITHUS FREQUENS	NEPHROLITHUS FREQUENS TETRALITHUS MURUS	TETRALITHUS MURUS	MICULA MURA	MICULA MURA	TETRALITHUS MURUS	TETRALITHUS MURUS
		ASSEM-BLAJE GOTHICUS ZDРUŽBA		LITHRAPHIDITES QUADRATUS	LITHRAPHIDITES QUADRATUS	ARKHANGELSKI-ELLA CYMBIFORMIS	TETRALITHUS TRIFIDUS	LITHRAPHIDITES QUADRATUS	LITHRAPHIDITES QUADRATUS	ARKHANGELSKI-ELLA CYMBIFORMIS
CAMPAN					TETRALITHUS ACULEUS	REINHARDITES ANTHOPHORUS		TETRALITHUS TRIFIDUS	TETRALITHUS TRIFIDUS	
				CHIASTOZYGIUS INITIALIS		BROINSONIA PARCA				

Sl. 2. Primerjava krednih nanoplanktonskih biocon  
 Fig. 2. Comparison of the Cretaceous nannoplanktonic biozones

	HAY & MOHLER 1967	PERCH-NIELSEN 1969	MARTINI 1970	GARTNER 1971	PERCH-NIELSEN 1972	BUKRY 1973	BUKRY 1974	PROTO-DECIMA ROTH & TODESCO 1975	PODSABOTIN PAVŠIČ, 1976
PALEOCEN	DISCOASTER MULTIRADIATUS	CRUCIPLACO- LITHUS TENUIS	DISCOASTER MULTIRADIATUS	DISCOASTER MULTIRADIATUS	CAMPYLOSPHAERA EODELA	CAMPYLOSPHAERA EODELA	DISCOASTER MULTIRADIATUS	DISCOASTER MULTIRADIATUS	
	DISCOASTER GEMMEUS		HELIOLITHUS RIEDELI	DISCOASTER NOBILIS	CHIASMOLITHUS BIDENS	CHIASMOLITHUS BIDENS	DISCOASTER NOBILIS	DISCOASTER NOBILIS	DISCOASTER GE MME US
	HELIOLITHUS KLEINPELLI		DISCOASTER GEMMEUS	HELIOLITHUS KLEINPELLI	DISCOASTER MOHLERI	DISCOASTER MOHLERI	HELIOLITHUS KLEINPELLI	HELIOLITHUS KLEINPELLI	HELIOLITHUS KLEINPELLI
	FASCICULITHUS TYMPANIFORMIS		HELIOLITHUS KLEINPELLI	FASCICULITHUS TYMPANIFORMIS	HELIOLITHUS KLEINPELLI	HELIOLITHUS KLEINPELLI	FASCICULITHUS TYMPANIFORMIS	FASCICULITHUS TYMPANIFORMIS	FASCICULITHUS TYMPANIFORMIS
	CRUCIPLACO- LITHUS TENUIS		ELLPSOLITHUS TENUIS	CYCLOCOCCOLI- THINA ROBUSTA	CHIASMOLITHUS DANICUS	FASCICULITHUS TAMPANIFORMIS	FASCICULITHUS TYMPANIFORMIS	CRUCIPLACO- LITHUS TENUIS	CRUCIPLACO- LITHUS TENUIS
	MARKALIUS ASTROPORUS		CRUCIPLACO- LITHUS TENUIS	CRUCIPLACO- LITHUS TENUIS	CRUCIPLACO- LITHUS TENUIS	CRUCIPLACO- LITHUS TENUIS	CRUCIPLACO- LITHUS TENUIS	MARKALIUS INVERSUS	MARKALIUS ASTROPORUS

Sl. 3. Primerjava paleocenskih nanoplanktonskih biocon  
 Fig. 3. Comparison of the Paleocene nannoplanktonic biozones

in zato se ni čuditi, če vrste *Nephrolitus frequens* nismo našli. Tropsko vrsto *Tetralithus murus* lahko vzporejamo s tropsko vrsto planktonске foraminifere *Racemiguembelina fructicosa*, ki je prav tako značilna za ta del zgornje krede in množično nastopa tudi v profilih podsabotinskih plasti (J. Pavšič, 1974).

V profilu Podsabotin se začenja biocona z vrsto *T. murus* pri vzorcu Ps3p in se nadaljuje vse do meje kreda/terciar. Debelina je 15 do 20 metrov. V tem intervalu srečamo poleg imenovane vrste še vrste *Arkhangelskiella cymbiformis*, *Cretarhabdulus crenulatus*, *Cribrosphaera ehrenbergi*, *Eiffelithus turri-seiffeli*, *Micula staurophora*, *Watznaueria barnesae*, *Prediscosphaera cretacea* in druge zgornjekredne oblike. V tem delu se sporadično pojavlja tudi *Lucianorhabdus cayeuxi*, ki ga imajo nekateri (M. N. Bramlette & E. Martini, 1964) za značilni fosil na meji spodnji/zgornji maastricht. Z izginotjem te vrste naj bi se bil začel zgornji maastricht. Toda meje, postavljene z izginotjem določene vrste, v mikropaleontologiji niso povsem zanesljive. Zelo težko je namreč ugotoviti, kdaj je določena vrsta končala svojo življenjsko pot, in kdaj gre za presedimentirani fosil.

Litološko sestoji ta biocona iz rdečega, rožnatega in sivega laporastega apnenca s številnimi sledovi iz rodu *Zoophycos*.

V profilu pri Lijaku se biocona začne z vzorcem LI4 in je debela okrog 10 metrov. Litološko sestoji iz podobnega laporastega apnenca kot pri Podsabotinu, vendar brez fosilov (sl. 2).

**Paleocen.** V primerjavi z razvojem zgornje krede je v profilu Podsabotin mnogo lepše razvit paleocenski del. Tu nastopajo številne značilne oblike, ki so lepše ohranjene in imajo krajšo vertikalno razširjenost, kar je ugodno za postavljanje biocon. V paleocenskem delu smo raziskovali pet biocon (sl. 3).

Biocona *Markalius astroporus* predstavlja interval med prvim pojavom vrste *Markalius astroporus* in prvim pojavom vrste *Cruciplacolithus tenuis* (W. W. Hay & H. P. Mohler in drugi, 1967). Ta definicija biocone ustrezata tudi našim razmeram. Nekateri raziskovalci pa označujejo spodnjo mejo te biocone z izginotjem kredne oblike *Arkhangelskiella cymbiformis* (G. Martini, 1970; F. Proto-Decima, P. H. Roth & L. Tedesco, 1975). Takšna definicija v našem primeru ne ustrezata, ker v terciarnem delu nastopajo številne presedimentirane kredne oblike in zato ni mogoče določiti, kdaj prenehajo kredne oblike. Pri nas nastopi tik nad litološko mejo kreda/terciar tanek horizont z rodovoma *Braarudosphaera* in *Thoracosphaera*. V tem delu, debelem le okrog deset centimetrov, nismo mogli najti krednih niti paleocenskih oblik, kar velja za oba profila v ozkem pasu tik nad mejo. Nad tem pasom se pojavijo prvi primerki vrste *Markalius astroporus*, *Zygodiscus sigmoides* in presedimentirane kredne oblike. Zanimivo je, da smo podoben presledek zasledili tudi pri preučevanju planktonskih foraminifer (J. Pavšič, 1973). Izostala je biocona z vrsto *Globorotalia eugubina* in smo kot prvo paleocensko vrsto določili *Globorotalia pseudobulloides*. Število vrst v tem delu je zelo skromno. Drugod so našli v njej vrsto *Biantholithus sparsus*.

Ta biocona je bila prvič opisana v profilu v bližini kraja Pont Labau v južni Franciji (W. W. Hay in H. P. Mohler, 1967) Kasneje so jo določili v več najdiščih na Danskem (K. Perch-Nielsen, 1969). B. Haq (1972) jo je omenila iz več krajev v Perziji. F. Proto-Decima, H. P. Roth in L.

Todesco (1975) so jo našli v profilu Possagno blizu Treviza v severni Italiji. Znana je tudi iz drugih profilov v Evropi in zunaj nje.

Biocono *Markalius astroporus* lahko delno primerjamo z biocono planktonskih foraminifer *Globorotalia pseudobulloides*, ki je bila določena v profilu pri Lijaku takoj nad najnižjim delom terciarnega profila.

Litološko sestoji biocona iz rjavkasto rdečega mehkega laporja, ki se po barvi in krojivti loči od ostalega profila. Biocona zavzema le meter do dva debeline profila in je zastopana v obeh profilih v enakem razvoju.

Biocona *Cruciplacolithus tenuis* predstavlja interval od začetka vrste *Cruciplacolithus tenuis* do začetka vrste *Fasciculithus tympaniformis*. Avtorja H. P. Mohler in W. W. Hay (1967) sta jo prvič opisala iz Francije jugovzhodno od kraja Pont Labau v Pirenejih.

Terciarne oblike so še vedno slabo zastopane. Poleg vrst, ki nastopajo v bioconi *Markalius astroporus*, se pojavijo še *Cruciplacolithus tenuis*, *Zygodiscus sigmoides* in številne presedimentirane kredne vrste. V klasičnem najdišču na Danskem zavzema ta biocona večji del tipičnega profila (W. W. Hay in drugi, 1967). Našli so jo na številnih krajih po svetu. V Teksasu in na Trinidadu so jo v formaciji Lizard Springs primerjali z bioconami planktonskih foraminifer. Spodnja meja biocone *Cruciplacolithus tenuis* je v bioconi *Globigerinoides dubbjergensis* in leži nekoliko više kot biocona *Globorotalia trinidadensis*. V Padernu d'Adda je zgornja meja te biocone v zgornjem delu biocone *Globorotalia uncinata*. V Avstriji pa zavzema biocono A (= biocona *Globorotalia trinidadensis*), B (biocona *Globorotalia uncinata*), C (= biocona *Globorotalia angulata*) (K. Gohrbandt, 1963). E. Martini (1970) je razdelil omenjeno biocono na tri cone; biocono *Cruciplacolithus tenuis* je obdržal v spodnjem delu in jo je močno zožil. Po njegovem naj bi ustrezala vrhnjemu delu biocone *Globorotalia pseudobulloides* in delno bioconi *Globigerina triloculinoides*. V enotno biocono po W. W. Hayu in H. P. Mohlaju (1967) je vrinil še dve bioconi, in sicer *Chiasmolithus danicus* in *Ellipsolithus macellus*. Obe vrsti smo v našem profilu sicer našli, vendar ju zaradi neizrazitega začetka nismo mogli uporabiti kot conarna fosila. Biocona *Ellipsolithus macellus* naj bi po E. Martiniju segla do začetka biocone *Globorotalia pusilla* in *Globorotalia angulata*, to je do srednjega paleocena.

V profilu pri Podsbordinu je ta biocona v celoti razvita in se konča z nastopom naslednje. Pri Lijaku pa je nekoliko drugače. Kmalu nad začetkom vrste *Cruciplacolithus tenuis* se pojavi tudi znanilec naslednje biocone *Fasciculithus tympaniformis* v spremstvu vrste *Heliolithus kleinpellii*, značilne za biocono v vrhnjem delu srednjega paleocena. Profil pri Lijaku je tudi mnogo tanjši kot profil pri Podsbordinu. Zato sklepamo, da gre za kondenzirane plasti. V njih smo našli skupaj fosilne oblike različne starosti; drugih dokazov pa za enkrat nimamo. Primer takšnega profila so našli tudi pri Possagnu v severni Italiji (F. Proto-Decima, H. P. Roth & L. Todesco, 1975).

Pri Lijaku lahko spodnjo mejo te biocone uvrstimo v biocono *Globorotalia trinidadensis*.

Litološko sestoji ta biocona iz rdečkasto rjavega laporastega apnenca, ki je precej mehak ter se po barvi in krojivti lepo loči od više ležečih plasti. Prehod v višje plasti je postopen. Debelina te biocone znaša tri do štiri metre.

Biocona *Fasciculithus tympaniformis* predstavlja interval od prvega pojava vrste *Fasciculithus tympaniformis* do začetka vrste *Heliolithus kleinpelli*. Prvič je bila opisana v bližini kraja Pont Labau v južni Franciji.

V tej bioconi so prvič močneje zastopane tudi terciarne nanoplanktonske vrste. Poleg vrst, ki nastopajo v nižjih bioconah, srečamo še vrste *Chiasmolithus bidens*, *Chiasmolithus danicus*, *Prinsius bisulcus*, *Toweius eminens*, *Toweius towae*, *Neococcolithus protenus*, *Zygodiscus adamas*, *Pontosphaera plana*, *Coccolithus pelagicus*, *Ellipsolithus macellus* in *Fasciculithus merloti*. Na Trinidatdu ustreza ta biocona bioconi *Globorotalia pusilla pusilla*. E. Martini (1970) jo je omenil tudi iz Avstrije in Avstralije ter delno primerjal z bioconama *Globorotalia pusilla* in *G. angulata*. V Padernu d'Adda je bila ta biocona najdena v horizontu 16 do 21 (H. M. Bölli & M. B. Cita, 1960) in ustreza zgornjemu delu biocone *Globorotalia uncinata* in spodnjemu delu biocone *G. angulata*. V Avstriji je zastopana z biocono D (= cona *Globorotalia angulata*) (W. W. Hay & H. P. Mohler, 1967). Pri študiju paleocenskega profila pri Possagnu te biocone niso ločili (F. Proto-Decima, K. P. Roth & L. Todesco, 1975).

Biocona *Fasciculithus tympaniformis* predstavlja v profilu pri Podsabotinu največji razpon od vseh postavljenih biocon. Zavzema interval med vzorcema 22 do 41, kar predstavlja okrog 12 debelinskih metrov. Litološko sestoji iz rdečkastega laporja in vmesnih pol sivkastega laporastega apnenca. V vrhnjem delu profila se menjavata rdečasti in rjavkasti laporasti apnenec in vsebuje leče sivega apnenca.

Biocona *Heliolithus kleinpelli* predstavlja interval med prvim pojavom vrste *Heliolithus kleinpelli* in začetkom vrste *Discoaster gemmeus*. Prva sta opisala biocono W. W. Hay in H. P. Mohler (1967) v plasteh Pont Labau v južni Franciji.

V tej bioconi se poleg znanih vrst pojavi tudi *Fasciculithus involutus*; številne so presedimentirane kredne oblike. Množična je v sredini biocone vrsta *Heliolithus kleinpelli*, ki smo jo našli v vseh položajih (vzorec Ps45p).

V Paderna d'Adda ustreza ta biocona srednjemu delu biocone *Globorotalia pseudomenardii*. E. Martini (1970) jo je omenil iz Avstrije in Mehike in jo primerjal z zgornjim delom biocone *Globorotalia pusilla* / *G. angulata* in s spodnjim delom biocone *Globorotalia pseudomenardii*. A. R. Edwards (1970) je primerjal to biocono s spodnjim delom biocone *Globigerina triloculinoides* v Te Uri Stream v Novi Zelandiji. Omejil jo je z začetkom in koncem vrste *Heliolithus kleinpelli*.

V profilu Podsabotin smo to biocono določili, medtem ko je v profilu pri Lijaku zaradi domnevne kondenzacije plasti nismo mogli. Pri Podsabotinu nastopa od vzorca 42 do vzorca 48. Litološko prevladuje rdeči laporasti apnenec, ki vsebuje do 15 cm debele plasti sivega in rjavkastega laporja in leče sivega apnenca. Biocona zavzema tri do štiri debelinske metre profila.

Biocona *Discoaster gemmeus* predstavlja interval od začetka vrste *Discoaster gemmeus* do prvega pojava vrste *Heliolithus riedeli*. Prvi jo je opisal W. W. Hay (1964) v Pont Labau v Franciji, kjer pa manjka zgornja meja biocone.

Poleg nosilca biocone *D. gemmeus* se v bioconi pojavljajo vse tu opisane paleocenske vrste. Primerki vrste *D. gemmeus* so redki in majhni; po tem skle-

pamo, da gre za nižji del te biocone. Močno je zastopana vrsta *Fasciculithus involutus*.

W. W. Hay in H. P. Mohler (1967) sta omenila to biocono v profilu pri Padernu d'Adda. E. Martini (1970) jo je dokazal v Eitelgrabenu v Avstriji in jo primerjal z biocono *Globorotalia pseudomenardii* (sl. 4).

To biocono štejejo še v srednji paleocen. V profilu Podsabotin stoji iz rdečega laporja z lečami svetlega apnenca in obsega kratek interval med vzorcema 49 in 50. Njenemu razvoju nismo mogli zadovoljivo slediti, ker je profil med temata dvema vzorcema pokrit. Prav tako je pokrit zadnji del profila do kontakta s flišem, zato nismo mogli določiti vrhnjega dela biocone.

### Biostratigrafski sklep

Za biostratigrafsko študijo zgornjekrednih in paleogenskih klastičnih plasti smo izbrali dva podobna profila na severnem robu goriško-vipavskega flišnega sinklinorija; prvega na robu Trnovskega gozda, drugega pa na vznožju Sabotina. Talnino obeh profilov predstavlja senonski rudistni apnenec, ki je pri Lijaku narinjen na podsabotinske plasti in na fliš Vipavske doline, krovnino pa spodnjeeocenski fliš.

V profilu Podsabotin smo določili dve zgornjekredni bioconi in pet paleocenskih. Vse biocone so dokazane z značilnimi fosili. Pet biocon je razvitih v celioti, pri dveh pa smo razlikovali le spodnji in zgornji del, ker je teren pokrit.

Biocone delno ustrezajo standardni razdelitvi (E. Martini, 1970), delno razvojem, ki jih opisujejo drugi avtorji iz Evrope in Amerike. Paleocenski del profila smo lahko najlepše primerjali z razvojem pri kraju Pont Labau v Pirenejih (W. W. Hay in H. P. Mohler, 1967), kjer so biocone v enakem zaporedju z bolj ali manj enako floristično vsebino. V profilu sta lepo razviti obe danski bioconi *Markalius astroporus* in *Cruciplacolithus tenuis*, ki ustreza razvoju danskih plasti v klasičnih najdiščih na Danskem (K. Perch-Nielsen, 1969). Ti dve bioconi smo primerjali z ustreznima bioconama, postavljenima na podlagi planktonskih foraminifer pri Lijaku (J. Pavšič, 1973). S tem je danska stopnja v laporinem razvoju v Sloveniji dokazana.

Srednji paleocen je v profilu Podsabotin v celoti razvit. Podoben profil je bil določen pri Studenu v Pivški kotlini na podlagi planktonskih foraminifer (R. Gospodarič in drugi, 1967). Vendar primerjava ni več možna, ker so na edini golici pri Studenu postavili novo hišo. S srednjim paleocenom se je sedimentacija podsabotinskih plasti na prostoru Goriških Brd končala, ni se nadaljevala v zgornjem paleocenu ali celo v eocenu, kot so prvotno mislili (L. Šribar, 1965). Malo je namreč verjetno, da bi v pokritem delu profila pod flišem, debelem največ deset metrov, lahko pričakovali celotni zgornji paleocen.

### Problem meje kreda-terciar

V profilih Podsabotin in Lijak je meja med kredo in terciarjem lepo vidna; naenkrat preneha rdečkasti in sivi trdi laporasti apnenec in začne se rjavkasto rdeči mehki laporasti apnenec. V njem se pojavijo tanjše pole sivega apnenca. Poleg litološke slike se spremeni tudi floristična in favnistična (L. Šri-

bar, 1965; J. Pavšič, 1973). Kredni nanoplankton naenkrat izgine. V spodnjih centimetrih terciarnega dela profila so le manj občutljive oblike nanoplanktona. V tem delu smo našli perzistentni oblici *Braarudosphaera bigelovi* in *Thoracosphaera imperforata*. Močno prevladuje prva oblika, zato smo ta del imenovali »horizont Braarudosphaera«, ki smo ga lahko identificirali v obeh profilih. Kmalu nad tem horizontom se začno pojavljati terciarne oblike, najprej danska vrsta *Markalius astroporus*.

Kaj je povzročilo nenaden propad krednih planktonskih oblik? Zaenkrat na to vprašanje še ni zadovoljivega odgovora. Eni navajajo kot vzrok pomanjkanje hrane (M. N. Bramlette, 1965), drugi pa nenaden padec temperature zaradi različnih vzrokov (H. Tappan, 1966; W. W. Hay, 1960).

Po mojem je kredni plankton propadel zaradi spremembe slanosti morske vode. Rastlinski in živalski plankton sta namreč zelo občutljiva za takšno spremembo. Večina vrst prenese nihanje slanosti le za nekaj promilov. Optimalna slanost za večino vrst je okrog 35 %. Vrste, ki imajo svoj optimum pod ali nad to vrednostjo, so dobri paleosalinitetni indikatorji.

V spodnjih paleocenskih plasteh najdemo v veliki množini vrsto *Braarudosphaera bigelovi*, ki je vztrajala od zgornje krede vse do danes. Obdržala se je verjetno zaradi svoje velike zmožnosti prilagajanja na različne biotope. Po D. Bukry (1974) so našli vrsto *B. bigelovi* v Mehniškem zalivu pri slanosti 31,8 do 32,7 % v koncentraciji 680 osebkov na liter. Veliko koncentracijo te vrste so odkrili v Panamskem zalivu, kjer pada slanost na 28,8 do 23,5 % (T. J. S m a y a d a , 1966 cf. D. B u k r y , 1974). V litru vode so našeli 1500 osebkov. Kjer slanost preseže 34,7 %, je najti le posamezne primerke te vrste. D. B u k r y (1974) je omenil vrsto *B. bigelovi* iz sedimentov Crnega morja, kjer pada slanost na 17 do 18 %. Fosilna oblika vrste *B. bigelovi* je zelo pogosta v priobalnih vzorcih paleogena Pariške kotline (P. M. Bouché, 1962). Nenaden močan porast vrste *B. bigelovi* sta opazila T. Saito in S. F. Percival (1970 cf. B u k r y , 1974) v oligocenskih sedimentih južnega Atlantika in sta lahko določila poseben horizont, debel 50 mm do 80 cm. Vrsta *B. bigelovi* naj bi se bila v tistem času tako močno razmnožila, ker se je zaradi obilnega dežja močno znižala slanost površinskih voda v južnem Atlantiku (D. B u k r y , 1974).

Po vsem tem sklepamo, da je šlo za podoben pojav tudi na meji kreda/terciar. Ustrezni horizont je razvit v profilu pri Lijaku in pri Podsabotinu v debeli nekaj centimetrov do pol metra. Verjetno so razvezet brarudosferid tudi tu povzročile padavine v nenormalnih količinah. Manj verjetno je, da bi se bil v tistem času celotni bazen osladil zaradi površinskih pritokov, v tem primeru bi vendarle nekje naleteli na njih sledove.

Sama ločnica med maastrichtsko in dansko stopnjo je v vseh profilih lepo izražena v obliki nekaj milimetrsko razpoke. Ta vrzel pa ne pomeni daljše prekinitev sedimentacije. Kontakt je le rahlo upognjen, kar je verjetno tektonskega

Sl. 4. Razširjenost nanoplanktona v profilu Podsabotin v Goriških Brdih  
Fig. 4. Distribution of nannoplankton in the Podsabotin section from Goriška Brda

## BIOCONE

		ZYGODISCUS SPIRALIS
		CLAUROLITHUS DELOCGRAMMUS
		STA UROLITHUS CRUX
		TRANOLITHUS ORIANOTUS
		EIFFELITHUS TURKSESEFELI
		CHUASTOZYGUS LITTERARUS
		CHUASTOZYGUS PESSIS
		ARKHANGELSKIELLA CYMBIFORMIS
		BRODSONIA PARCA
		KAMPITERIUS SP.
		BUSCUTUM TESTUDINARIUM
		WATZNALERIA BARNESEA
		TETRALITHUS PYRAMIDUS
		TETRALITHUS QUADRATUS
		TETRALITHUS OBSCURUS
		MICULA STAUROPHORA
		LUCIANORHABDUS COYE UXI
		MICROMORPHADULUS DECORATUS
		STA UROLITHUS ELLIPTICUS
		MARKALIUS ASTROPORUS
		CHIASMOLITHUS BUDENS
		CHIASMOCOLETRUS DANCICUS
		CRUCIPACOLITHUS SP.
		CRUCIPACOLITHUS TENUIS
		ERICSONIA FENESTRATA
		PRINSUS BISULCUS
		TOWEJUS EMENS
		TOWEJUS TOWAE
		THORACOSPHAERA IMPERATORA
		THORACOSPHAERA TUBEROSA
		BRAARUDOSPHAERA BIGELOWI
		B. RIGELOWI IMBRICATA
		DISCOASTER GEMMEUS
		DISCOASTER MULRIADIATUS
		FASCICULITHUS INVOLUTUS
		FASCICULITHUS TYMPANIFORMIS
		FASCICULITHUS MERLOTI
		HELIOLITHUS KLEINPELLI
		ZYGRABLITHUS BLUGATIS
		NEOCOCCOLITHES PROTEUS
		ZYGODISCUS SIGMOIDES
		HELIOPHRUS CONCINNUS
		ZYGODISCUS ADAMAS
		ELIPSOLITHUS DISTICHUS
		PONTOSPHAERA PLANA
		COCCOLITHUS PELLUCIDUS
		ELIPSOLITHUS MACELLUS
2		
1p		
4		
2p		
5		
3p	•	
6	•	
4p	•	
7	•	
5p	•	
8	•	
6p	•	
6a	•	
7p	•	
9	•	
8p	•	
10a	•	
10b	•	
10e	•	
10g	•	
10b	•	
11f	•	
11g	•	
11j	•	
11k	•	
12p	•	
13p	•	
14p	•	
15p	•	
16p	•	
17p	•	
111	•	
16p	•	
19p	•	
20	•	
21	•	
22		
23		
24		
25		
26		
27		
28		
29		
30		
31		
32		
33		
34		
35		
36		
37		
38		
39		
40		
41		
42		
43		
44		
45		
46		
47		
48		
49		
50		
1.f1		
2.f1		

# Nannoplankton from the Upper Cretaceous and Paleocene Beds in the Gorica Region

Jernej Pavšič

Department for geology and paleontology, University of Ljubljana,  
Ljubljana, Aškerčeva 12

Two sections of the marly limestone lying between the Upper Cretaceous rudistid limestone and Eocene Flysch have been examined for nannoplankton. The first one corresponds to the original Podsabotin section passing by the Novo Mesto village in Goriška Brda (Gorica Hills). The second one follows the northern border of Vipava Valley. Their geologic age has been determined previously to be Upper Cretaceous and Paleocene, as proved by their contents in foraminifers. An attempt is made now to correlate the foraminiferal biozones with the nannoplanktonic distribution. Two Upper Cretaceous and five Paleocene biozones could be distinguished. A new species *Fasciculithus merloti* has been determined from the biozone *Fasciculithus tympaniformis*.

Author deals with the distribution of nannoplankton in marly limestone of the Podsabotin beds occurring in Goriška Brda (Gorica Hills). The limestone is characterized by various shades of red and gray colour as well by subequal splits formed by weathering. Its Upper Cretaceous-Paleocene age has already been proved by its contents in foraminifers determined from the well exposed sections of Podsabotin and Lijak (fig. 1). An attempt is made now to correlate the foraminiferal biozones with corresponding nannoplanktonic distribution. Two Upper Cretaceous boizones have been recognized in the sections mentioned above, and that *Arkhangelskiella cymbiformis* and *Tetralithus murus* (fig. 2). Just above the Cretaceous/Tertiary interface, there the beds begin to change in character as the hard reddish and grayish Cretaceous limestone is overlain by a rather soft brownish marly limestone. Neither Cretaceous nor Paleocene characteristic nannoplanktonic forms could be found in an interval of about 10 cm, that abounds, however, with the genus of *Braarudosphaera*. This break become even more significant as there an equivalent foraminiferal gap has been found too. The lowest Paleocene foraminiferal biozone of *Globorotalia eugubina* is lacking. The first species determinerd from the Paleocene sequence is *Globorotalia pseudobulloides* that can be partly correlated with the first Paleocene nannoplanktonic form of *Markalius astroporus*. The following Paleocene biozone of *Cruciplacolithus tenuis* is well developed in the Podsabotin section. There the

izvora. To kaže predvsem kontakt pri Lijaku, kjer je celotni profil tektonsko precej spremenjen. Do zareze na meji kreda/terciar je verjetno prišlo sekundarno zaradi drsenja tršega krednega dela prek mehkejšega paleocenskega. Zato lahko v litološkem in florističnem razvoju plasti zagovarjamo neprekinitveno sedimentacijo.

### Prispevek k paleogeografiji

Podsabotinske plasti se raztezajo v južnozahodni Sloveniji povečini na robovih flišnih kadunj in so nekakšne predhodnice flišne sedimentacije. Kot je znano, se je bazen flišne sedimentacije poglabljal od severozahoda proti jugovzhodu, kjer imamo vedno mlajše sedimente. Podobno starostno zaporedje sledimo tudi v podsabotinskih plasteh. V zgornji Soški dolini so te plasti turonske ali spodnjesenonske (D. Nedela - Devide, 1957). Proti jugu postajajo plasti vse mlajše in v Goriških Brdih so maastrichtske starosti.

Na območju Goriških Brd se je v spodnjem maastrichtu morje toliko poglobilo, da so nastali ugodni pogoji za nastanek klastitov in naselitev planktonsko flore in favne. Zveza z odprtim morjem je bila dobra. Sediment je biomikrit, ki sestoji v glavnem iz drobcev in celotnih skeletov nanoplanktona in planktonskih foraminifer. Rdeči sediment na meji kreda/terciar ni nastajal v okolju, ki bi ustrezalo nastanku današnjega globigerinskega blata, temveč v mnogo plitvejši vodi (M. Rech-Frolo, 1971). Istočasno s kredno sedimentacijo podsabotinskih plasti je na severnem robu Vipavske doline in na Tržaško-komenškem krasu nastajal rudistni apnenec (M. Pleničar, 1975), to je plitvomorski sediment čiste vode. Ni verjetno, da bi na tako majhni razdalji obstajale velike globinske razlike, posebno če pomislimo, da so rudistni grebeni ali trate uspevali na položni obali. Po P. Miocu (1968) so podsabotinske plasti nastajale v kordilijerskih koritih dinarske smeri. Bolj verjetno se mi zdi, da je bil to širši sedimentacijski prostor in na njegovem obrobju so rasli rudistni grebeni. Kredni del podsabotinskih plasti vsebuje v drugih profilih (Col, Kožbana, Kanalski vrh) brečo s kosi rudistnega apnencu. Po tem sklepamo, da so ti sedimenti nastajali v obrobnih delih bazena, medtem ko v njegovem osrednjem delu takšnih tvorb ne najdemo.

V paleocenski dobi se je ozemlje dvigalo. Morje se je za kratek čas tudi osladilo; na to kaže »horizont Braarudosphaera«. V tem času so se v južnozahodni Sloveniji usedale brakične liburnijske karbonatne plasti (R. Pavlovč, 1963) s premogom. O poplitvenju morja nam pričajo številne leče in kosi apnanca z bogato litoralno favno in floro. Apnenec je prišel v sedimentacijski prostor iz bližnjih litoralnih področij kot strjen material ali kot karbonatno blato, ki se je v obliki leč razlezlo po plasti.

Po srednjem paleocenu je prišlo na tem območju do nadaljnje regresije. Podsabotinske plasti na območju Goriških Brd so bile podvržene eroziji (F. Cimerman in drugi, 1974). Zgornjekredne in paleocenske kose podsabotinskih plasti najdemo v spodnjem delu fliša v Goriških Brdih, to je v kožbanskih plasteh.

species *Cruciplacolithus tenuis* is associated with *Ellipsolithus macellus* and some reworked Cretaceous forms. The relations in the Lijak section are somewhat different, as there in a relatively thin uninterrupted succession *Fasciculithus tympaniformis* and *Heliolithus kleinelli* occur together with *Cruciplacolithus tenuis*. After such an assemblage of characteristic fossil forms, a condensed deposition could be supposed. The lower boundary of this biozone corresponds to the foraminiferal biozone *Globorotalia trinidadensis*.

On the contrary, the biozone *F. tympaniformis* is 12 m thick at Podsabotin and is the best developed biostratigraphic unit of the section. It consists of reddish marl intercalated with grayish marly limestone rich in Tertiary nannoplanktonic forms. The following species are met with: *Chiasmolithus bidens*, *Chiasmolithus danicus*, *Prinsius bisulcus*, *Toweius emineus*, *Toweius towae*, *Neococcolithus protenus*, *Zygodiscus adamas*, *Pontosphaera plana*, *Coccolithus pelagicus*, *Ellipsolithus macellus* and a new species *Fasciculithus merloti* (Plate 7, figs 1—3).

At Podsabotin the biozone *Heliolithus kleinelli* is 3—4 m thick and is distinct well enough. The biozone *Discoaster gemmeus*, however, represents a rather short interval of deposition. The contact with the overlying Eocene flysch is covered. By rather rare and poorly developed forms of *Discoaster gemmeus* a lower level of the biozone is indicated. The characteristic fossil is accompanied by many Paleocene nannoplanktonic forms; *Fasciculithus involutus* is the most frequent among them (figs. 3 and 4).

*Fasciculithus merloti*  
Plate 7, figs. 1—3

**Derivatio nominis:** So named after the merlot grapevine growing on the soils which owe their origin to the desintegration of the Podsabotin beds in Goriška Brda (Gorica Hills).

**Holotypus:** Pl. 7, fig. 1. inventory number of the samples 485 in the collection of J. Pavšič, Department for geology and paleontology, University in Ljubljana.

**Paratypi:** Pl. 7, figs. 2, 3, inventory numbers 482, 485, in the same collection as holotype.

**Stratum typicum:** Middle Paleocene, biozone *Fasciculithus tympaniformis* in the section of the Podsabotin beds at the Podsabotin village in Goriška Brda (Gorica Hills).

**Locus typicus:** Podsabotin in Goriška Brda.

**Material:** Three photographs of samples with negative.

**Diagnosis:** Distal part of the column supports a large disk projecting in an apical spine. It is fairly wider compared with the proximal column part.

**Description:** Column has a truncated cone-shape and bears a disk, projecting in an apical spine. The inclination of the cone side is 73—75°. The outer wall of the column is smooth. The central opening and central tube are smooth too. The central tube is wide and distinct. The proximal part of the column finishes with an expressive concave field. The disk born by the column is normally as large as the distal end of the column, sometimes it stretches, however, a little over the edge. The total height is 8—12  $\mu$ .

**Comparison:** The species differs from the similar *F. ulti* in having clearly inclined column sides. The disk prolongates conically into apical spine and not steplike as at the species *F. ulti*.

### Literatura

- Adeledeck, C. G., Geehan, G. W. & Roth, P. H. 1973, Experimental Evidence for the Selective Dissolution and Overgrowth of Calcareous Nannofossils During Diagenesis. Geol. Soc. Amer. Bull. 84, 2755—2762.
- Barbieri, F. & Pancieri, E. 1968, Calcareous nannoplankton from Upper Cretaceous and Early Tertiary flysch of Baganza Valley/North Italy. Riv. Ital. Paleont. 74/2, 421—446, tab. 32—36, Milano.
- Black, M. & Barnes, B. 1959, The Structure of Coccoliths from the English Chalk. Geol. Mag. 46/5, 321—328, tab. 8—12, Hertford.
- Bolli, H. M. & Cita, M. B. 1960, Globigerina e Globorotalia del Paleocene di Paderno d'Adda (Italia). Riv. Ital. Paleont. 66/3, 1043, Milano.
- Bramlette, M. N. 1965, Massive extinctions in biota at the end of Mesozoic time. Science 148, 1696—169.
- Bramlette, M. N. & Martini, E. 1964, The great change in calcareous nannoplankton fossils between the Maestrichtian and Danian. Micropaleontology 10/2, 291—322, Washington.
- Bramlette, M. N. & Riedel, W. R. 1954, Stratigraphic value of Discoasters and some other Microfossils related to recent coccolithopores. Jour. Paleont. 28/4, 385—403, tab. 38—39, Menasha.
- Bramlette, M. N. & Sullivan, F. R. 1961, Coccolithophorids and related Nannoplankton of the early Tertiary in California. Micropaleontology 7/2, 129—188, tab. 1—14, New York.
- Bouché, P. M. 1962, Nannofossiles calcaires du Lutétien du bassin de Paris. Rev. Micropaléont. 5/2, 75—103, Paris.
- Bukry, D. 1969, Upper Cretaceous Coccoliths from Texas and Europe. Univ. Kansas Paleont. Inst. 51 (Protista 2), 79 str., 40 tab., Kansas.
- Bukry, D. 1971, Cenozoic calcareous nannofossils from the Pacific ocean. Transact. San Diego Soc. Nat. Hist. 16/14, 303—327, San Diego.
- Bukry, D. 1973, Phytoplankton stratigraphy, Central Pacific ocean, Deep sea drilling project leg 17. Init. rep. deep sea drill. proj. 17, 871—889, 5. tab., Washington.
- Bukry, D. 1974, Phytoplankton stratigraphy, offshore East Africa Deep sea drilling project leg 25. Init. rep. deep sea drill. proj. 15, 635—646, Washington.
- Bukry, D. 1974, Coccoliths as paleosalinity indicators-evidence from Black sea. Black-sea geol., chem., biol. men. 20, 353—363.
- Cimerman, F., Pavlovec, R., Pavšič, J. & Todesco, L. 1974, Biostatigrafija paleogenskih plasti v Goriških brdih. Geologija 17, 7—130, Ljubljana.
- Cohen, C. L. D. 1965, Coccoliths and Discoasters from Adriatic bottom sediments. Leidse Geol. Mededeling. 35, 1—44, 25 tab., Leiden.
- Cousin, M. 1964, L'apparition du faciès flysch dans la partie sud de la Slovénie occidentale. C. R. Soc. géol. 7, 286—287, Paris.
- Ceppek, P. 1970, Zur Vertikalverbreitung von Coccolithen-Arten in der Oberkreide NW-Deutschlands. Geol. Jb. 88, 235—264, 6 tab., Hannover.
- Cepkek, P. & Hay, W. W. 1969, Calcareous nannoplankton and biostratigraphic subdivision of the Upper Cretaceous. Trans. Gulf Coast Assoc. geol. soc. 19, 322—336.
- Deflandre, G. 1959, Sur les nannofossiles calcaires et leur systématique. Rev. Micropaléont. 2/3, 127—152, Paris.
- Deflandre, G. 1963, Sur les Microrhabdulidés, famille nouvelle de nannofossiles calcaires. C. R. Acad. sc. 256, 3484—3486, Paris.

Deflandre, G. & Fert, C. 1952, Microscopie électronique et micropaléontologie. Sur la structure fine de quelques cocolithes fossiles observés au microscope électronique. Signification morphogénétique et application à la systématique. C. A. Acad. Sc. 234, 2100—2102, Paris.

Deflandre, G. & Fert, C. 1954, Observations sur les coccolithophoridés actuels et fossiles en microscopie ordinaire et électronique. Ann. Paléont. 40, 68 str., 15 tab., Paris.

Drobne, K. & Pavlovec, R. 1969, Le faciès paléocènes en Slovénie. III. simp. dinarske asocijac., 27—33, Zagreb.

Edwards, A. R. 1970, A calcareous nannoplankton zonation of the New Zealand Paleogene. Proc. II planct. Conf. Roma, 381—419, Roma.

Farinacci, A. 1969—1975, Catalogue of calcareous nannofossils. vol. 1 do 8, Tecnoscienza, Roma.

Forchheimer, S. 1972, Scanning electron microscope studies of Cretaceous coccoliths. Sver. Geol. Undersök., C/647, 64/4, 3—141, Stockholm (1970).

Gartner, S. 1968, Coccoliths and related calcareous nannofossils from Upper Cretaceous deposits of Texas and Arkansas. Univ. Kans. Paleont., Contr. 48, 56 str., 28 tab., Kansas.

Gartner, S. 1970, Phylogenetic Lineages in the Lower Tertiary Coccolith genus Chiasmolithus. Proc. N. Amer. Paleont. Convert., G, 930—957.

Gartner, S. 1971, Nannofossil zonation of the Paleocene-Eocene sediments penetrated in Joides Blake Plateau cores J-3 and J-6 b. Ann. Inst. Geol. Publ. Hung. 54/4-I, 69—77, Budapest.

Gartner, S. 1971, Calcareous nannofossils from the Joides Blake Plateau cores, and revision of Paleogene nannofossil zonation. Tulane Stud. Geol. Paleont. 8/3, 101—121, New Orleans.

Germovšek, C. 1953, Zgornjekredni klastični sedimenti na Kočevskem in bližnji okolici. Geologija 1, 120—134, Ljubljana.

Gohrbandt, K. 1963, Zur Gliederung des Paläogen im Helvetikum nördlich Salzburg nach planktonischen Foraminiferen. Mitt. Geol. Gesellsch. 56/1, 116 str. Wien.

Gorka, H. 1957, Coccolithophoridae z gornego mastrychu Polski Środkowej. Acta Paleont. Pol. 2/2—3, 253—284, Warszawa.

Gorka, H. 1963, Coccolithophoridés, Dinoflagellés, Hystrichosphaeridés et Microfossiles Incertae sedis du Crétacé Supérieur de Pologne. Act. Paleont. Pol. 8/1, Warsaw.

Gospodarić, R., Kolosváry, G., Pavlovec, R. & Proto-Decima, F. 1967, Ueber Entstehung und Alter der Paläogenschichten im Pivka-Becken bei Postojna (Adelsberg, SW Slowenien, Jugoslawien). Anzeig. Österr. Akad. Wiss. 2, 25 str., Wien.

Grad, K. 1962, O starosti fliša na Kališah. Geologija 7, 261—264, Ljubljana.

Haq, B. 1972 a, Paleogene Calcareous Nannoflora. Part IV. Paleogene nannoplankton biostratigraphy and evolutionary rates in Cenozoic calcareous nannoplankton. Stockholm Contr. Geol. 25, 130—158, Stockholm.

Haq, B. 1972 b, Paleogene Calcareous Nannoflora. Part I. The Paleocene of west-central Persia and Upper Paleocene-Eocene of West Pakistan. Stockholm Contr. Geol. 25, 56 str. 15 tab., Stockholm.

Hay, W. W. 1960, The Cretaceous-Tertiary boundary in the Tampico Embayment, Mexico. 21st Internat. Geol. Congr., Proc. sec. 5, 70—77.

Hay, W. W. & Towe, K. M. 1962, Electromicroscopic Examination of some Coccoliths from Donzacq (France). Eclogae geol. Helv. 55/2, 497—517, 10 tab., Basel.

Hay, W. W. & Mohler, H. P. 1967, Calcareous Nannoplankton from Early Tertiary rocks at Pont Labau, France, and Paleocene-Early Eocene correlations. Jour. Paleont. 41/8, 1505—1541, tab. 196—206, Menasha.

Hay, W. W., Mohler, H. P., Roth, P. H., Schmidt, R. R. & Bodreaux, J. E. 1967, Calcareous Nannoplankton Zonation of the Cenozoic of the

- Coast and Caribbean-Antillean Area and Transoceanic Correlation. *Trans. G. C. Assoc. Geol. Soc.* 17, 429—480.
- Kapellös, C. C. 1973, Biostratigraphie des Gurnigelflysches. Schw. Paleont. Abh. 96, 128 str., 49 tab., Basel.
- Locke, S. 1968, Biostratigraphie des Alttertiärs von Norddeutschland mit Coccolithophoriden. Monatsb. Dt. Akad. Wiss. 10/3, 219—230, Berlin.
- Locke, S. 1970, Zur Gliederung des Alttertiärs in Nannoplankton Zonen. Geologie 19/7, 880—882, Berlin.
- Manivit, H. 1965, Nannofossiles calcaires de l'Albo-Aptien. Rev. Micropal. 8/3, 189—201, Paris.
- Manivit, H. 1967, Nannofossiles calcaires du Turonien et du Sénonien. Rev. Micropal. 10/4, 277—286, Paris.
- Manivit, H. 1971, Nannofossiles calcaires du crétacé Français/Aptien-Maastrichtien. Essai de Biozonation appuyée sur les Stratotypes, 187 str., 32 tab.
- Martini, E. 1961, Nannoplankton aus dem Tertiär und der obersten Kreide von SW-Frankreich. Senck. Leth. 42/1—2, 41 str. Frankfurt a. M.
- Martini, E. 1970, Standard Paleogene Calcareous Nannoplankton Zonation. Nature 226/5245, 560—561, St. Albans.
- Martini, E. 1976, 9. Cretaceous to recent calcareous nannoplankton from the Central Pacific Ocean (DSDP leg 33). Init. Rep. Deep Sea Drill. Proj. 33, 383—423, Washington.
- Martini, E. & Müller, C. 1971, Das marine Alttertiär in Deutschland und seine Einordnung in die Standard Nannoplankton Zonen. Erdöl und Kohle 6, 381—384, Wien.
- Martinis, B. 1962, Ricerche geologiche paleontologiche sulla Regione Compresa Tra il T. Iudrio ed il F. Timavo. Riv. Ital. Paleont. Strat. 8, 1—244, Milano.
- Matter, A., Douglas, R. G. & Perch-Nielsen, K. 1975, Fossil preservation, geochemistry, and diagenesis of pelagic carbonates from Shatsky rise, Northwest Pacific. Init. Rep. Deep Sea Drill. Proj. 32, 891—291, Washington.
- Mioč, P. 1968, Sedimenti s pelagično mikrofavnovo v severozahodnih Dinaridih. Prvi kolokvij o geol. Dinaridov 1, 97—101, Ljubljana.
- Monechi, S. & Radrizzani-Pirini, C. 1975, Nannoplankton from scaglia Umbra formation (Gubbio) at Cretaceous-Tertiary boundary. Riv. Ital. Paleont. 81/1, 31—44, tab. 4—6, Milano.
- Moshovitz, S. 1967, First Report on the Occurrence of Nannoplankton in Upper Cretaceous Paleocene Sediments of Israel. Jb. Geol. B. A. 110, 135—168, Wien.
- Nedela-Devídová, D. 1957, Značenje globotrunkanida za rješavanje nekih stratigrafskeh problema u Jugoslaviji. II. jug. geol. kongr., 134—154, Sarajevo.
- Pavlovec, R. 1963, Stratigrافski razvoj starejšega paleogenega v južnozahodni Sloveniji. Razpr. Slov. akad. znan. umet. 7, razr. 4, 421—556, Ljubljana.
- Pavlovec, R. & Pavšič, J. 1971, Zoophycos (Annelida, Polychaeta) v podsabotinskih plasti Zahodne Slovenije. Geologija 14, 63—66, Ljubljana.
- Pavšič, J. 1971, Biostratigrafija laporjev na meji med kredo in terciarjem med Goriškimi brdi in Logaško planoto. Dipl. delo, manuskr., Katedra za geol. in paleont. univ. v Ljubljani, III + 69, 19 tab., Ljubljana.
- Pavšič, J. 1973, Planktonian foraminifera from Podsabotin strata South-western Slovenia (Western Yugoslavia). Bull. Sci. 18/7—9, 143—144, Zagreb.
- Perch-Nielsen, K. 1969, Die Coccolithen einiger Dänischer Maastrichtien und Danien Lokalitäten. Medd. Dansk Geol. Foren. 19, 51—67, tab. 7, Kobenhavn.
- Perch-Nielsen, K. 1971 a, Durchsicht Tertiären Coccolithen. Proc. II. Plankt. Conf. 939—979, Roma.
- Perch-Nielsen, K. 1971 b, Einige neue Coccolithen aus dem Paleozän der Bucht von Biskaya. Bull. Geol. Soc. Denm. 20, 347—361, 14 tab.

Perch-Nielsen, K. 1972, Les nannofossiles calcaires de la limite Crétacé-Tertiaire. Mem. B. R. G. M. 77, 181—188, Copenhague.

Perch-Nielsen, K. 1972, Remarks on late Cretaceous to Pleistocene coccoliths from the North Atlantic. Init. Rep. Deep Sea Drill. Proj. 12, 1003—1069, Washington.

Perch-Nielsen, K. 1973, Danian and Campanian/Maastrichtian Coccoliths from Nuggsuaq, West Greenland. Geol. Soc. Denm. Bull. 22, 79—82.

Perch-Nielsen, K. 1973, Neue Coccolithen aus dem Maastrichtien von Dänemark, Madagaskar und Agypten. Bull. Geol. Soc. Denm. 22, 306—333, 9. tab.

Perch-Nielsen, K. 1973, Nannoplankton calcaire à la limite Crétacé-Tertiaire dans le Bassin de Majunga (Madagascar). C. R. Acad. Sc. 276, 2435—2438, Paris.

Pienar, R. N. 1968, Upper Cretaceous Coccolithophorids from Zululand, South Africa. Paleontology 11/3, 361—367, London.

Pleničar, M. 1958, Poročilo o globokomorskom razvoju krednih plasti pri Konstanjevici. Geologija 4, 152—156, Ljubljana.

Pleničar, M. 1975, Hipuriti Nanosa in Tržaško-Komenske planote. Razpr. Slov. akad. znan. umet. 18/4, razr. 4, 85—114, 23 tab., Ljubljana.

Premoli-Silva, I. & Luterbacher, H. P. 1966, The Cretaceous-Tertiary boundary in the Southern Alps (Italy). Riv. Ital. Paleont. 72/4, 1183—1266, tab. 91—99, Milano.

Proto-Decima, F. 1973, Leg 27 Calcareous nannoplankton. Deep Sea Drill. Proj. 27, 589—621, Washington.

Proto-Decima, F., Roth, H. P. & Todesco, L. 1975, Nannoplankton Calcarea del Paleocene e dell'Eocene della Sezione di Possagno. Schw. Paläont. Abh. 79, 35—55, 6 tab., Basel.

Ramovš, A. 1958, Starost »krških« skladov v okolini Krškega. Geologija 4, 149—151, Ljubljana.

Ramovš, A. 1967, Erster Nachweis der Kreide-Schichten im Gebirge Savinjske Alpe Nordwest-Jugoslawien. Bull. sci. A, 12/9, 9—10, Zagreb.

Rech-Frollo, M. 1971, Les Calcaires des Couches rouges des Alpes: Leur composition et leur origine. Sediment. geol. 6, 53—72, Amsterdam.

Reinhardt, P. 1968, Zur Taxonomie und Biostratigraphie des fossilen Nannoplanktons aus dem Malm, der Kreide und dem Alttertiär Mitteleuropas. Freiberg. Forschungshf. C. 196, 109 str., Leipzig.

Roth, H. P. 1973, 23. Calcareous nannofossils — Leg 17, Deep Sea Drilling Project. Init. Rep. Deep Sea Dril. Proj. 17. 695—795, Washington.

Scherwood, R. W. 1974, Calcareous nannofossil systematics, paleoecology, and biostratigraphy of the Middle Eocene Weches formation of Texas. Tulane stud. geol. paleont. 11/1, 1—80, Los Angeles.

Scherwood, R. W. & Levin, H. L. 1973, Scanning electron and optical microscope procedure for viewing of individual coccoliths. Tulane stud. geol. 10/2, 103—106, Los Angeles.

Stache, G. 1920, Geol. Spezialkarte Görz und Gradisca 1 : 75 000, Wien.

Stover, L. E. 1966, Cretaceous coccoliths and associated nannofossils from France and the Netherlands. Micropaleontology 12/2, 133—167, New York.

Stradner, H. 1963, New contributions to Mesozoic stratigraphy by means of Nannofossils. Proc. 6th World Petrol Congr., Sect. 1/4, 16 str.

Stur, D. 1858, Das Isonzo-Thal von Flytsch abwärts bis Görz, die Umgebungen von Wippach, Adelsberg, Planina und die Wochein. Jb. geol. R. A., 324—366, Wien.

Sullivan, F. 1964, Lower Tertiary nannoplankton from the California Coast ranges, I. Paleocene. Univ. Calif. public. geol. sci. 44/3, 163—228, 12 tab., Berkeley and Los Angeles.

Sribar, L. 1965, Meja med krednimi in terciarnimi skladi v Goriških brdih. Geologija 8, 121—129, Ljubljana.

Šribar, L. 1967, O sedimentih na meji kreda-terciar v južni Sloveniji, Geologija 10, 161, Ljubljana.

De Zanche, V., Pavlovec, R. & Proto-Decima, F. 1967, Mikrofavnina in mikrofacies iz eocenskih flišnih plasti pri Ustju v Vipavski dolini JZ Slovenija. Razpr. Slov. akad. znan. umet. 10/5, razr. 4, 207—263, 17 tab., Ljubljana.

Tappan, H. 1966, Three faces of evolution: Biologic, atmospheric and lithologic. Geol. Soc. America Spec. Pap. 101, 218 str.

Tierstein, H. 1971, Foraminiferen und Nannoplankton aus einem Profil durch santon Amandinerschichten in den östlichen Churfürsten. Eclogae geol. Helv. 64/1, 29—45, Basel.

Winkler-Hermaiden, A. 1936, Neuere Forschungsergebnisse über Schichtfolge und Bau der östlichen Südalpen. Geol. Rundsch. 27, Wien.

Worsley, T. & Martini, E. 1970, Late Maastrichtian Nannoplankton Provinces. Nature 225, 1242—1243.

Zlebnik, L. 1958, Prispevek k stratigrafiji velikotrnskih skladov. Geologija 4, 79—93, Ljubljana.

#### Tabla 1 — Plate I

- 1, 2, 4, 9 *Zygodiscus spiralis* Bramlette et Martini
- 6 *Glaukolithus diprogrammus* (Deflandre)
- 7 *Staurolithites crux* (Deflandre et Fert)
- 3, 5, 8 *Staurolithites ellipticus* (Gartner)
- 10, 11 *Tranolithus orianotus* (Reinhardt)
- 12, 13 *Eiffellithus turrisseiffeli* (Deflandre)
- 14, 15 *Chiastozygus litterarius* (Gorka)
- 16 *Chiastozygus jessus* Stover

Vse fotografije pod navzkrižnimi nikoli

All photographs between crossed nicols

1500 × povečano — 1500 × enlarged

Tabla 1 — Plate 1



**Tabla 2 — Plate 2**

1—4    *Ahmuellerella octoradiata* (Gorka)

pod navzkrižnimi nikoli  
between crossed nicols

5—8    *Cretarhabdulus crenulatus* Bramlette et Martini

pod navzkrižnimi nikoli  
between crossed nicols

9—12    *Prediscosphaera cretacea* (Arkhangelsky)

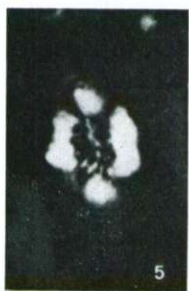
pod navzkrižnimi nikoli  
between crossed nicols

13—16    *Cribrosphaera ehrenbergi* Arkhangelsky

13 do 15 pod navzkrižnimi nikoli, 16 pod faznim kontrastom  
13 to 15 between crossed nicols, 16 phase contrast

1500 × povećano — 1500 × enlarged

**Tabla 2 — Plate 2**



**Tabla 3 — Plate 3**

1—4 *Arkhangelskiella cymbiformis* Vekshina

5—7 *Braarudosphaera bigelowi* (Gran et Braarud)

8 *Kamptnerius* sp.

9 *Biscutum testudinarium* Black

10—16 *Watznaueria barnesae* (Black)

Vse fotografije pod navzkrižnimi nikoli  
All photographs between crossed nicols

1500 × povečano — 1500 × enlarged

Tabla 3 — Plate 3



**Tabla 4 — Plate 4**

1—3    *Markalius astroporus* (Stradner)  
pod navzkrižnimi nikoli  
between crossed nicols

4—8    *Chiasmolithus bidens* (Bramlette et Sullivan)

4, 6, 7, 8 pod navzkrižnimi nikoli, 5 pod faznim kontrastom  
4, 6, 7, 8 between crossed nicols, 5 phase contrast

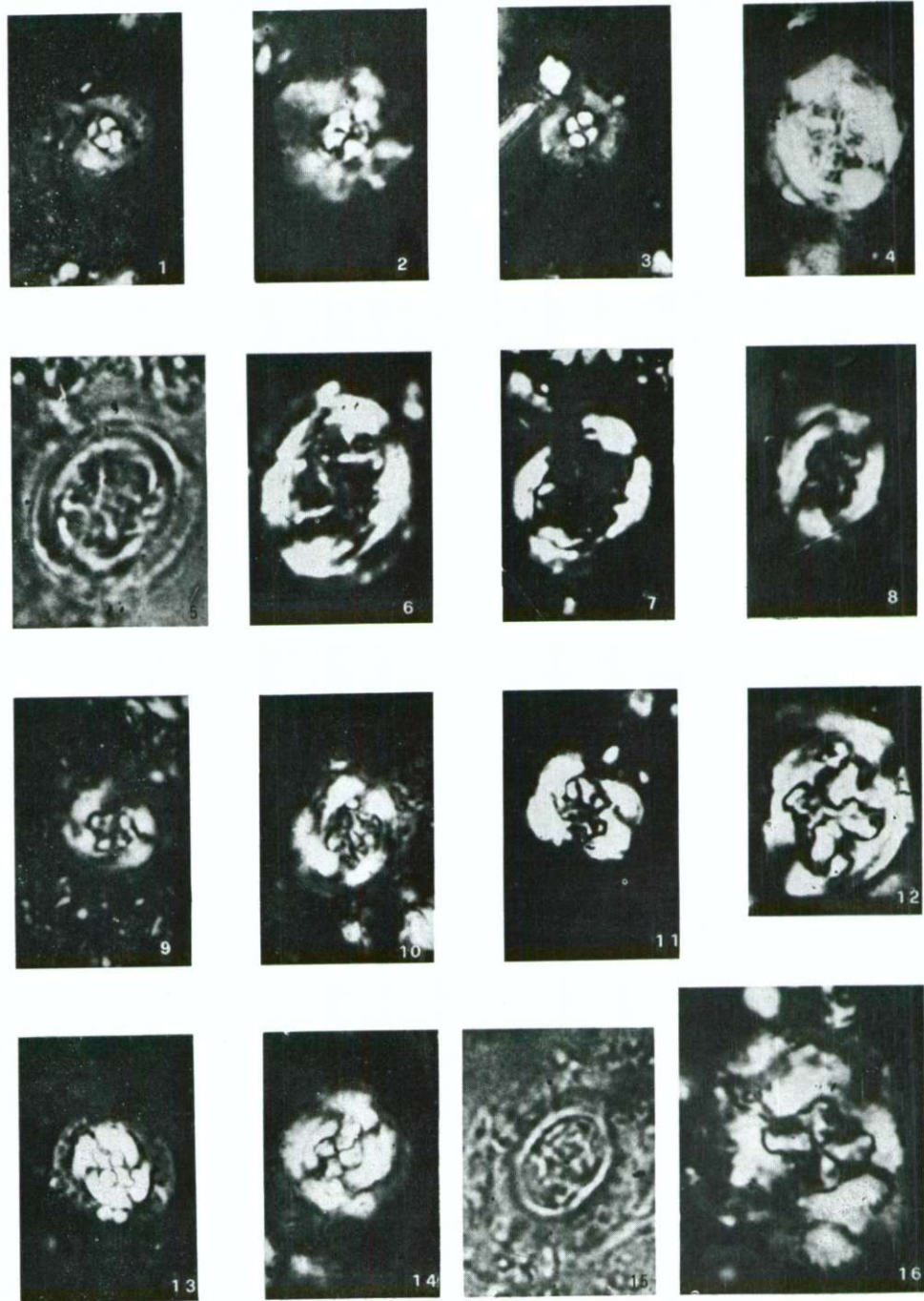
9—11    *Chiasmolithus danicus* (Brotzen)  
pod navzkrižnimi nikoli  
between crossed nicols

12—16    *Cruciplacolithus tenuis* (Stradner)

12, 13, 14, 16 pod navzkrižnimi nikoli, 15 pod faznim kontrastom  
12, 13, 14, 16 between crossed nicols, 15 phase contrast

1500 × povećano — 1500 × enlarged

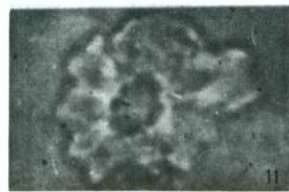
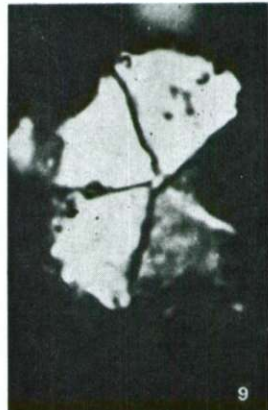
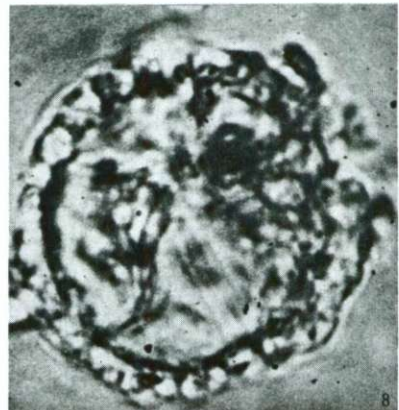
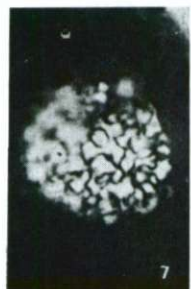
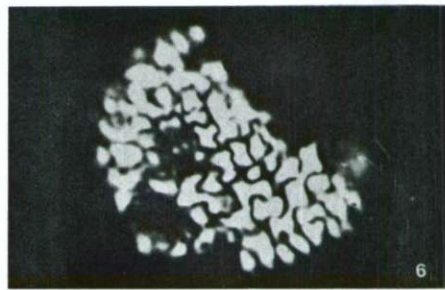
Tabla 4 — Plate 4



**Tabla 5 — Plate 5**

- 1    *Ericsonia fenestrata* (Deflandre et Fert)  
      pod faznim kontrastom  
      phase contrast
- 2    *Prinsius bisulcus* (Stradner)  
      pod navzkrižnimi nikoli  
      between crossed nicols
- 3, 4    *Toweius eminens* (Bramlette et Sullivan)  
      pod navzkrižnimi nikoli  
      between crossed nicols
- 5 a, b    *Toweius towae* Perch-Nielsen  
a pod faznim kontrastom, b pod navzkrižnimi nikoli  
a phase contrast, b between crossed nicols
- 6, 7    *Thoracosphaera imperforata* Kamptner  
      pod navzkrižnimi nikoli  
      between crossed nicols
- 8    *Thoracosphaera tuberosa* Kamptner  
      pod faznim kontrastom  
      phase contrast
- 9, 10    *Braarudosphaera bigelowi imbricata* Bükry  
      pod navzkrižnimi nikoli  
      between crossed nicols
- 11    *Discoaster salisburgensis* Stradner  
      pod faznim kontrastom  
      phase contrast
- 12    *Discoaster gemmeus* Stradner  
      pod faznim kontrastom  
      phase contrast
- 1500 × povečano — 1500 × enlarged

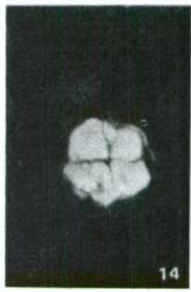
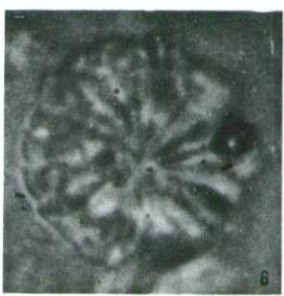
Tabla 5 — Plate 5



**Tabla 6 — Plate 6**

- 1 *Discoaster gemmeus* Stradner  
pod faznim kontrastom  
phase contrast
  - 2 *Discoaster cf. gemmeus* Stradner  
pod faznim kontrastom  
phase contrast
  - 3 *Discoaster salisburgensis* Stradner  
pod faznim kontrastom  
phase contrast
  - 4, 6 *Discoaster multiradiatus* Bramlette et Riedel  
pod faznim kontrastom  
phase contrast
  - 5, 7—11 *Fasciculithus involutus* Bramlette et Sullivan  
5, 10 pod faznim kontrastom, 7, 8, 9, 11 pod navzkrižnimi nikoli  
5, 10 phase contrast, 7, 8, 9, 11 between crossed nicols
  - 12—14 *Fasciculithus tympaniformis* Hay et Mohler  
pod navzkrižnimi nikoli  
between crossed nicols
- 1500 × povećano — 1500 × enlarged

Tabla 6 — Plate 6



**Tabla 7 — Plate 7**

1—3    *Fasciculithus merloti* n. sp.

pod navzkrižnimi nikoli  
between crossed nicols

4—8    *Heliolithus kleinpellii* Sullivan

5 do 8 pod navzkrižnimi nikoli, 4 pod faznim kontrastom  
5 to 8 between crossed nicols, 4 phase contrast

9    *Zygrablithus bijugatus* (Deflandre)

pod navzkrižnimi nikoli  
between crossed nicols

10, 11    *Neococcolithes protenus* (Bramlette et Sullivan)

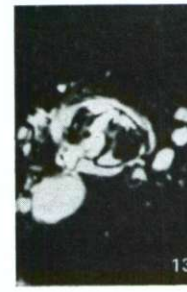
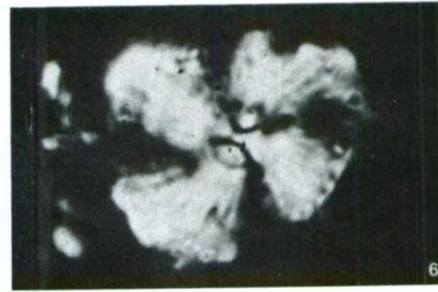
pod navzkrižnimi nikoli  
between crossed nicols

12—14    *Zygodiscus sigmoides* Bramlette et Sullivan

pod navzkrižnimi nikoli  
between crossed nicols

1500 × povečano — 1500 × enlarged

Tabla 7 — Plate 7



**Tabla 8 — Plate 8**

- 1, 2 *Zygodiscus sigmoides* Bramlette et Sullivan  
1 pod navzkrižnimi nikoli, 2 pri faznem kontrastu  
1 between crossed nicols, 2 phase contrast
- 3, 4 *Heliorthus concinnus* Martini  
pod navzkrižnimi nikoli  
between crossed nicols
- 5—8 *Zygodiscus adamas* Bramlette et Sullivan  
pod navzkrižnimi nikoli  
between crossed nicols
- 9 *Pontosphaera plana* (Bramlette et Sullivan)  
pod navzkrižnimi nikoli  
between crossed nicols
- 12, 13 *Coccolithus pelagicus* (Wallich)  
12 pod navzkrižnimi nikoli, 13 pod faznim kontrastom  
12 between crossed nicols, 13 phase contrast
- 14, 15 *Ellipsolithus macellus* (Bramlette et Sullivan)  
pod navzkrižnimi nikoli  
between crossed nicols
- 16 *Tetralithus quadratus* Stradner  
pod navzkrižnimi nikoli  
between crossed nicols
- 1500 × povečano — 1500 × enlarged

Tabla 8 — Plate 8

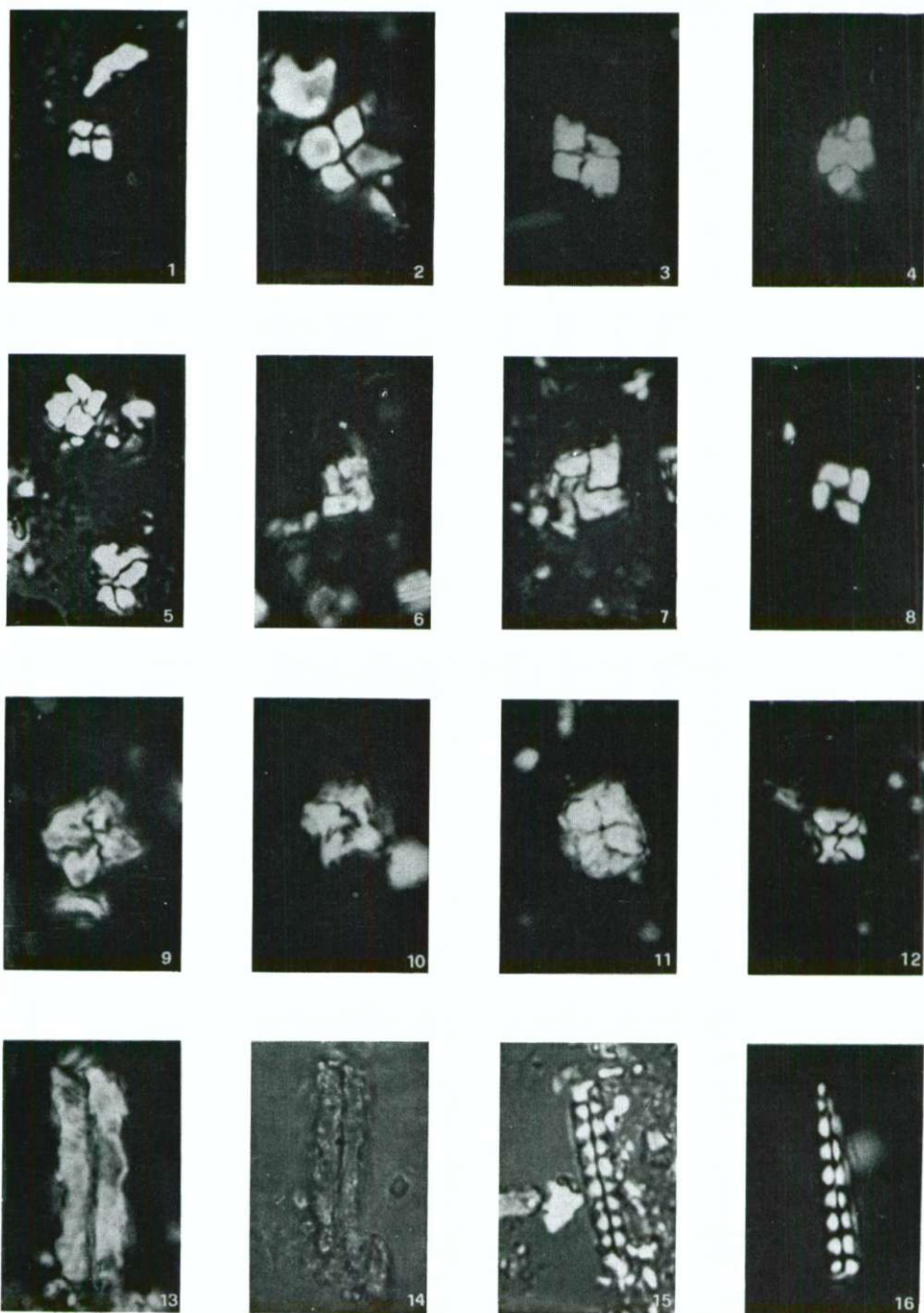


**Tabla 9 — Plate 9**

- 1—3    *Tetralithus pyramidus* Gardet  
      pod navzkrižnimi nikoli  
      between crossed nicols
- 4    *Tetralithus obscurus* Deflandre  
      pod navzkrižnimi nikoli  
      between crossed nicols
- 5—8    *Tetralithus murus* Martini  
      pod navzkrižnimi nikoli  
      between crossed nicols
- 9—12    *Micula staurophora* (Gardet)  
      pod navzkrižnimi nikoli  
      between crossed nicols
- 13, 14    *Lucianorhabdulus cayeuxi* Deflandre  
13 pod navzkrižnimi nikoli, 14 pod faznim kontrastom  
      13 between crossed nicols, 14 phase contrast
- 15, 16    *Microrhabdulus decoratus* Deflandre  
15 pod faznim kontrastom, 16 pod navzkrižnimi nikoli  
      15 phase contrast, 16 between crossed nicols
- 1500 × povećano — 1500 × enlarged

Nanoplankton je fotografirao J. Pavšić  
The photographs of the nannoplankton made by J. Pavšić

Tabla 9 — Plate 9



**Tabla 10 — Plate 10**

1, 2, 6 *Cribrosphaera ehrenbergi* Arkhangelsky

3 *Chiastozygus litterarius* (Gorka)  
*Prediscosphaera cretacea* (Arkhangelsky)

5 *Watznaueria barnesae* (Black)  
Scanning electron micrographs

3500 X povečano — 3500 X enlarged

Tabla 10 — Plate 10

